

Arquitectura: FasterViT

Entrenamiento: Fine Tuning

Modelo Identidad



Figura 1: Arquitectura FasterViT, entrenada con enfoque Fine Tuning y modelo Identidad, invarianza evaluada con Identidad



Figura 2: Arquitectura FasterViT, entrenada con enfoque Fine Tuning y modelo Identidad, invarianza evaluada con Brillo



Figura 3: Arquitectura FasterViT, entrenada con enfoque Fine Tuning y modelo Identidad, invarianza evaluada con Contraste

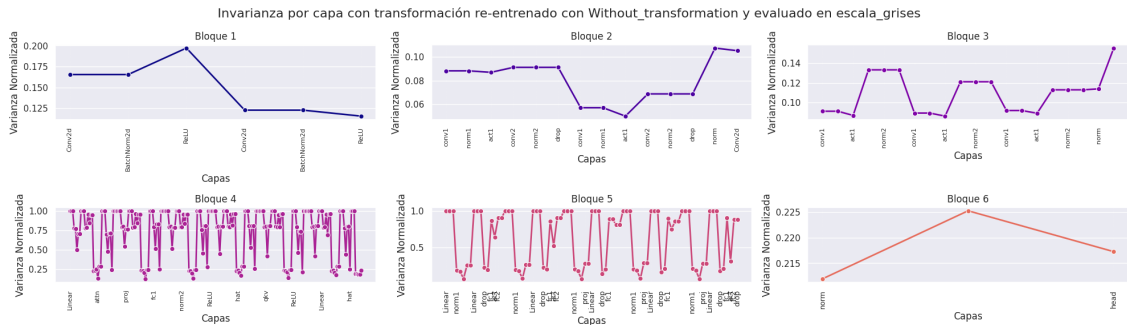


Figura 4: Arquitectura FasterViT, entrenada con enfoque Fine Tuning y modelo Identidad, invarianza evaluada con escala de grises



Figura 5: Arquitectura FasterViT, entrenada con enfoque Fine Tuning y modelo Identidad, invarianza evaluada con Escala

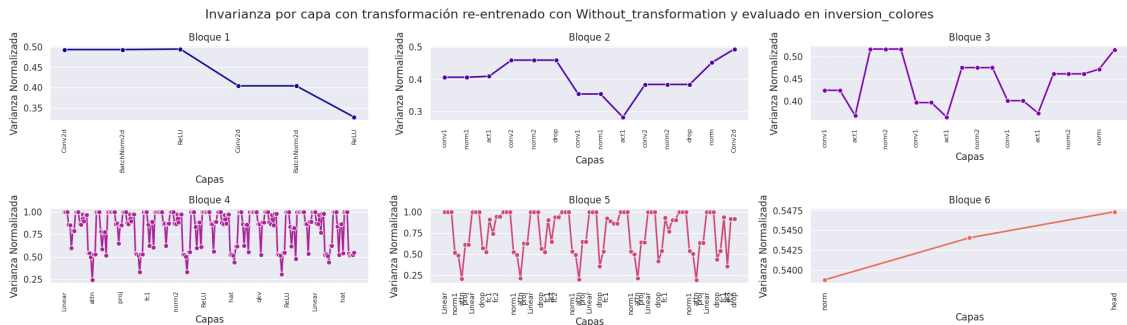


Figura 6: Arquitectura FasterViT, entrenada con enfoque Fine Tuning y modelo Identidad, invarianza evaluada con inversion de colores



Figura 7: Arquitectura FasterViT, entrenada con enfoque Fine Tuning y modelo Identidad, invarianza evaluada con Posterizacion



Figura 8: Arquitectura FasterViT, entrenada con enfoque Fine Tuning y modelo Identidad, invarianza evaluada con Proyección



Figura 9: Arquitectura FasterViT, entrenada con enfoque Fine Tuning y modelo Identidad, invarianza evaluada con Rotación



Figura 10: Arquitectura FasterViT, entrenada con enfoque Fine Tuning y modelo Identidad, invarianza evaluada con Solarización



Figura 11: Arquitectura FasterViT, entrenada con enfoque Fine Tuning y modelo Identidad, invarianza evaluada con Traslación

Transformación de entrenamiento: Brillo



Figura 12: Arquitectura FasterViT, entrenada con enfoque Fine Tuning y transformación Brillo, invarianza evaluada con Identidad



Figura 13: Arquitectura FasterViT, entrenada con enfoque Fine Tuning y transformación Brillo, invarianza evaluada con Brillo



Figura 14: Arquitectura FasterViT, entrenada con enfoque Fine Tuning y transformación Brillo, invarianza evaluada con Contraste



Figura 15: Arquitectura FasterViT, entrenada con enfoque Fine Tuning y transformación Brillo, invarianza evaluada con escala de grises



Figura 16: Arquitectura FasterViT, entrenada con enfoque Fine Tuning y transformación Brillo, invarianza evaluada con Escala



Figura 17: Arquitectura FasterViT, entrenada con enfoque Fine Tuning y transformación Brillo, invarianza evaluada con inversion de colores



Figura 18: Arquitectura FasterViT, entrenada con enfoque Fine Tuning y transformación Brillo, invarianza evaluada con Posterizacion



Figura 19: Arquitectura FasterViT, entrenada con enfoque Fine Tuning y transformación Brillo, invarianza evaluada con Proyección

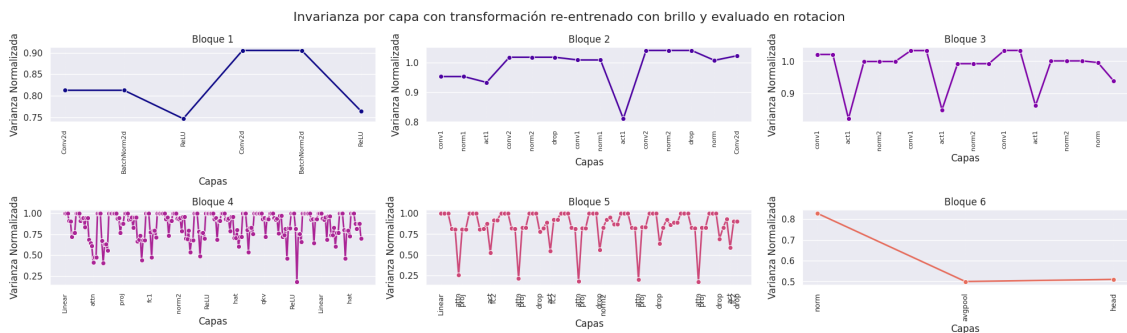


Figura 20: Arquitectura FasterViT, entrenada con enfoque Fine Tuning y transformación Brillo, invarianza evaluada con Rotación



Figura 21: Arquitectura FasterViT, entrenada con enfoque Fine Tuning y transformación Brillo, invarianza evaluada con Solarización



Figura 22: Arquitectura FasterViT, entrenada con enfoque Fine Tuning y transformación Brillo, invarianza evaluada con Traslación

Transformación de entrenamiento: Contraste

Transformación de entrenamiento: Escala



Figura 23: Arquitectura FasterViT, entrenada con enfoque Fine Tuning y transformación Escala, invarianza evaluada con Identidad



Figura 24: Arquitectura FasterViT, entrenada con enfoque Fine Tuning y transformación Escala, invarianza evaluada con Brillo



Figura 25: Arquitectura FasterViT, entrenada con enfoque Fine Tuning y transformación Escala, invarianza evaluada con Contraste



Figura 26: Arquitectura FasterViT, entrenada con enfoque Fine Tuning y transformación Escala, invarianza evaluada con escala de grises

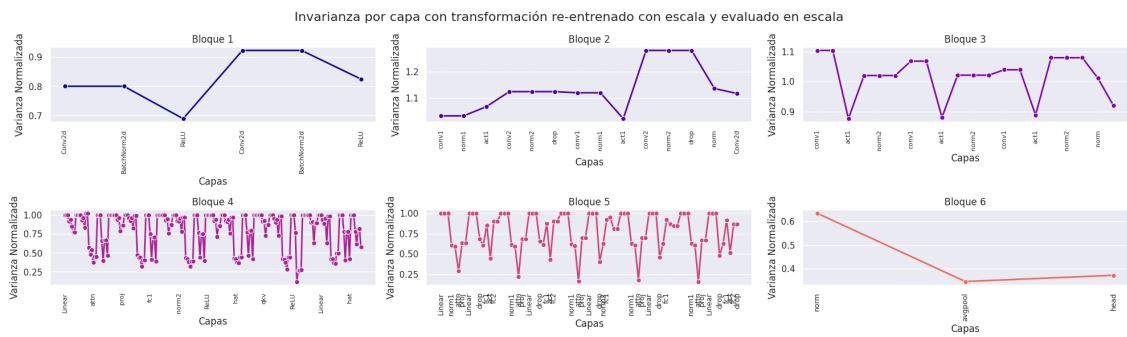


Figura 27: Arquitectura FasterViT, entrenada con enfoque Fine Tuning y transformación Escala, invarianza evaluada con Escala



Figura 28: Arquitectura FasterViT, entrenada con enfoque Fine Tuning y transformación Escala, invarianza evaluada con inversion de colores



Figura 29: Arquitectura FasterViT, entrenada con enfoque Fine Tuning y transformación Escala, invarianza evaluada con Posterizacion



Figura 30: Arquitectura FasterViT, entrenada con enfoque Fine Tuning y transformación Escala, invarianza evaluada con Proyección



Figura 31: Arquitectura FasterViT, entrenada con enfoque Fine Tuning y transformación Escala, invarianza evaluada con Rotación



Figura 32: Arquitectura FasterViT, entrenada con enfoque Fine Tuning y transformación Escala, invarianza evaluada con Solarización



Figura 33: Arquitectura FasterViT, entrenada con enfoque Fine Tuning y transformación Escala, invarianza evaluada con Traslación

Transformación de entrenamiento: escala de grises



Figura 34: Arquitectura FasterViT, entrenada con enfoque Fine Tuning y transformación escala de grises, invarianza evaluada con Identidad



Figura 35: Arquitectura FasterViT, entrenada con enfoque Fine Tuning y transformación escala de grises, invarianza evaluada con Brillo



Figura 36: Arquitectura FasterViT, entrenada con enfoque Fine Tuning y transformación escala de grises, invarianza evaluada con Contraste



Figura 37: Arquitectura FasterViT, entrenada con enfoque Fine Tuning y transformación escala de grises, invarianza evaluada con escala de grises



Figura 38: Arquitectura FasterViT, entrenada con enfoque Fine Tuning y transformación escala de grises, invarianza evaluada con Escala



Figura 39: Arquitectura FasterViT, entrenada con enfoque Fine Tuning y transformación escala de grises, invarianza evaluada con inversion de colores



Figura 40: Arquitectura FasterViT, entrenada con enfoque Fine Tuning y transformación escala de grises, invarianza evaluada con Posterizacion



Figura 41: Arquitectura FasterViT, entrenada con enfoque Fine Tuning y transformación escala de grises, invarianza evaluada con Proyección



Figura 42: Arquitectura FasterViT, entrenada con enfoque Fine Tuning y transformación escala de grises, invarianza evaluada con Rotación



Figura 43: Arquitectura FasterViT, entrenada con enfoque Fine Tuning y transformación escala de grises, invarianza evaluada con Solarización



Figura 44: Arquitectura FasterViT, entrenada con enfoque Fine Tuning y transformación escala de grises, invarianza evaluada con Traslación

Transformación de entrenamiento: inversión de colores

Transformación de entrenamiento: Posterización

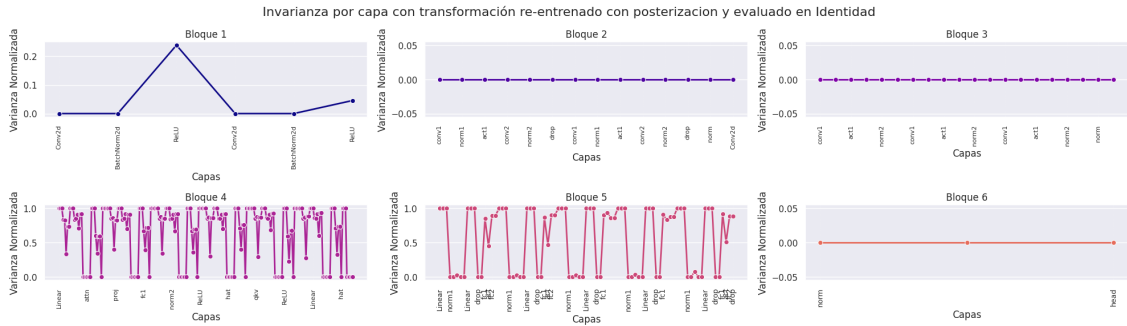


Figura 45: Arquitectura FasterViT, entrenada con enfoque Fine Tuning y transformación Posterizacion, invarianza evaluada con Identidad



Figura 46: Arquitectura FasterViT, entrenada con enfoque Fine Tuning y transformación Posterizacion, invarianza evaluada con Brillo



Figura 47: Arquitectura FasterViT, entrenada con enfoque Fine Tuning y transformación Posterizacion, invarianza evaluada con Contraste

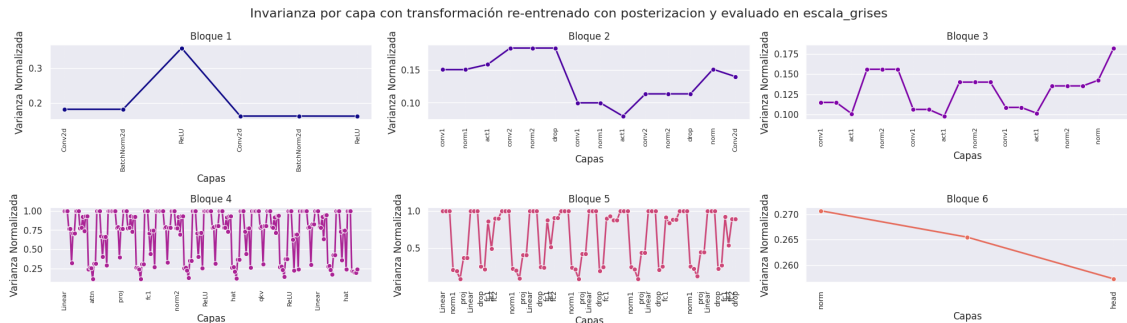


Figura 48: Arquitectura FasterViT, entrenada con enfoque Fine Tuning y transformación Posterizacion, invarianza evaluada con escala de grises

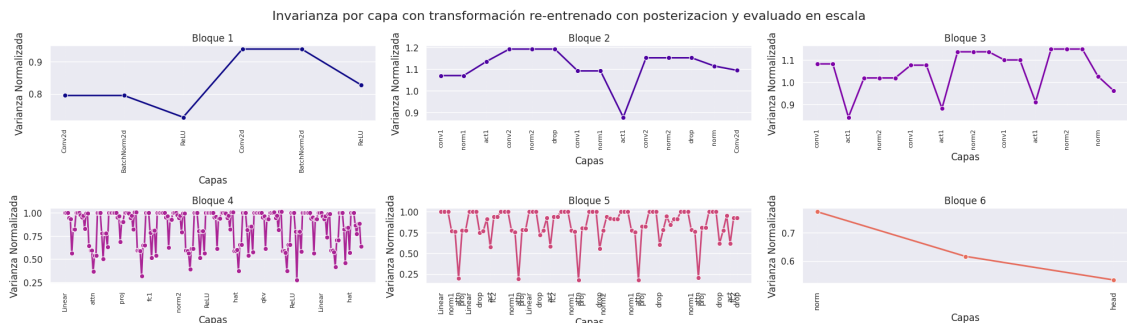


Figura 49: Arquitectura FasterViT, entrenada con enfoque Fine Tuning y transformación Posterizacion, invarianza evaluada con Escala

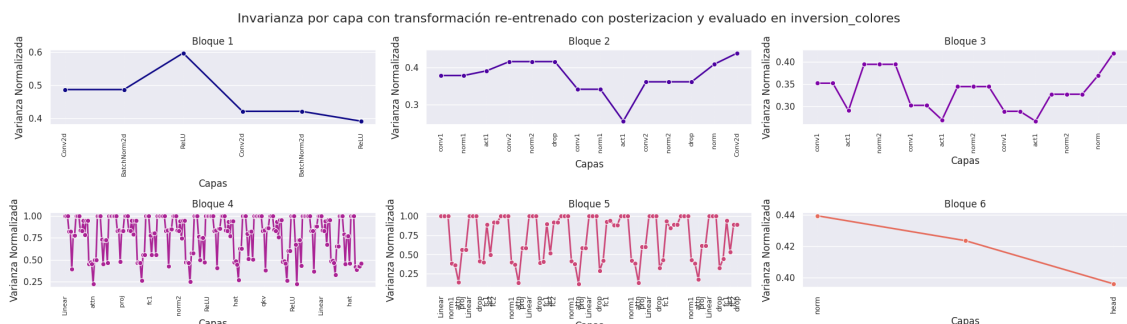


Figura 50: Arquitectura FasterViT, entrenada con enfoque Fine Tuning y transformación Posterizacion, invarianza evaluada con inversion de colores

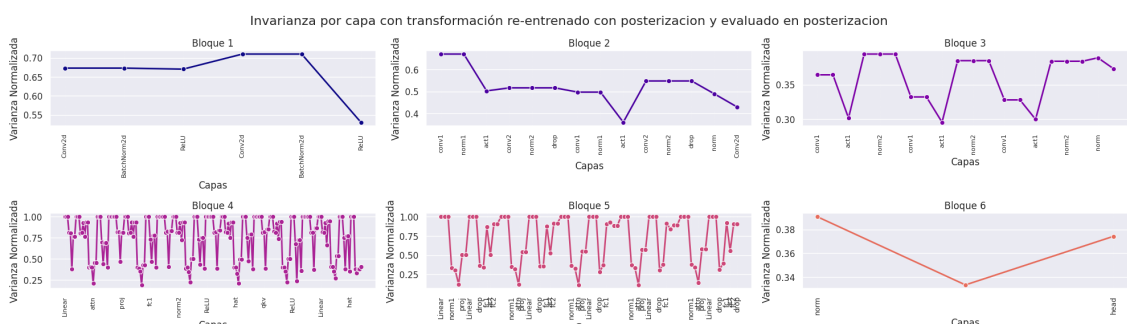


Figura 51: Arquitectura FasterViT, entrenada con enfoque Fine Tuning y transformación Posterizacion, invarianza evaluada con Posterizacion

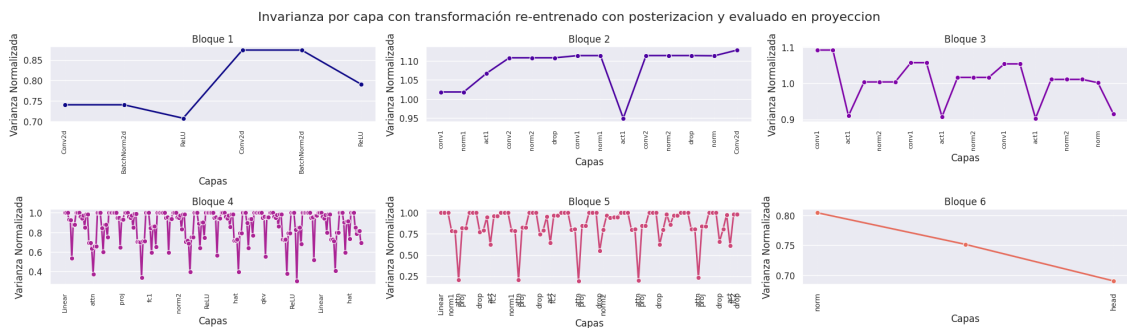


Figura 52: Arquitectura FasterViT, entrenada con enfoque Fine Tuning y transformación Posterizacion, invarianza evaluada con Proyeccion



Figura 53: Arquitectura FasterViT, entrenada con enfoque Fine Tuning y transformación Posterizacion, invarianza evaluada con Rotacion

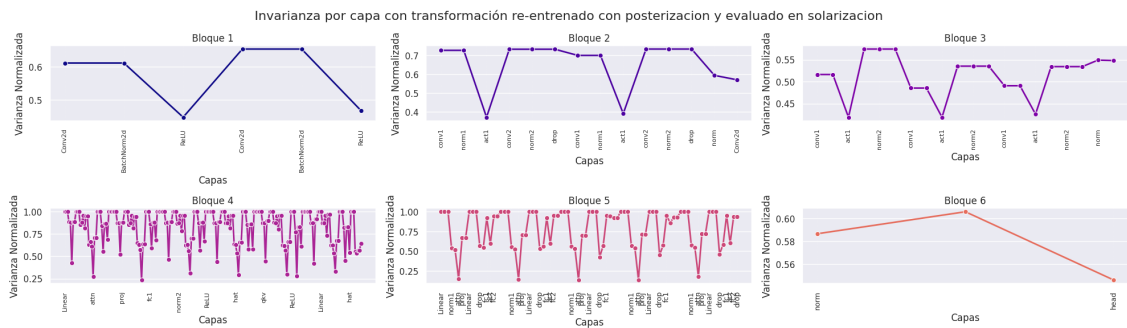


Figura 54: Arquitectura FasterViT, entrenada con enfoque Fine Tuning y transformación Posterizacion, invarianza evaluada con Solarizacion

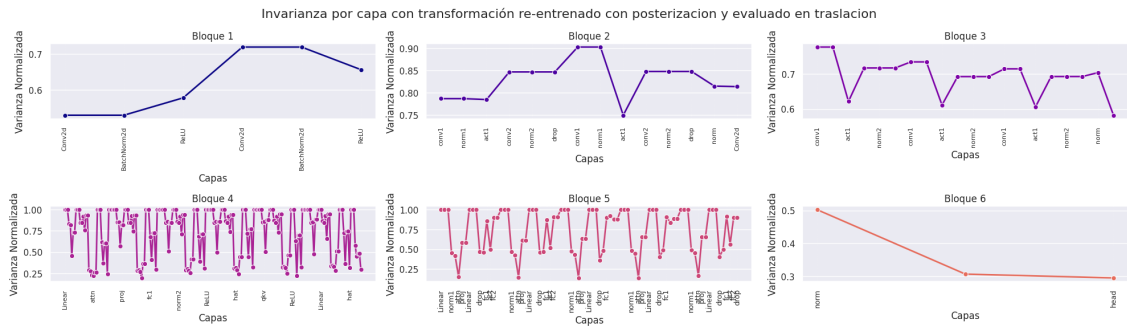


Figura 55: Arquitectura FasterViT, entrenada con enfoque Fine Tuning y transformación Posterizacion, invarianza evaluada con Traslacion

Transformación de entrenamiento: Proyección



Figura 56: Arquitectura FasterViT, entrenada con enfoque Fine Tuning y transformación Proyección, invarianza evaluada con Identidad



Figura 57: Arquitectura FasterViT, entrenada con enfoque Fine Tuning y transformación Proyección, invarianza evaluada con Brillo



Figura 58: Arquitectura FasterViT, entrenada con enfoque Fine Tuning y transformación Proyección, invarianza evaluada con Contraste



Figura 59: Arquitectura FasterViT, entrenada con enfoque Fine Tuning y transformación Proyección, invarianza evaluada con escala de grises

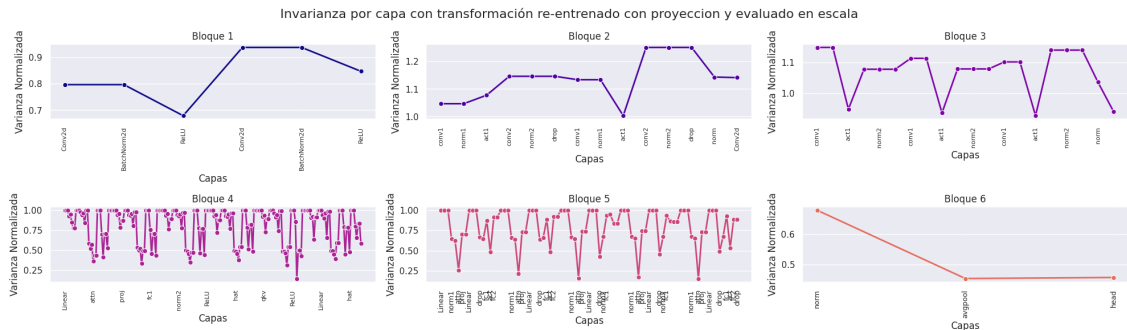


Figura 60: Arquitectura FasterViT, entrenada con enfoque Fine Tuning y transformación Proyección, invarianza evaluada con Escala



Figura 61: Arquitectura FasterViT, entrenada con enfoque Fine Tuning y transformación Proyección, invarianza evaluada con inversión de colores



Figura 62: Arquitectura FasterViT, entrenada con enfoque Fine Tuning y transformación Proyección, invarianza evaluada con Posterización

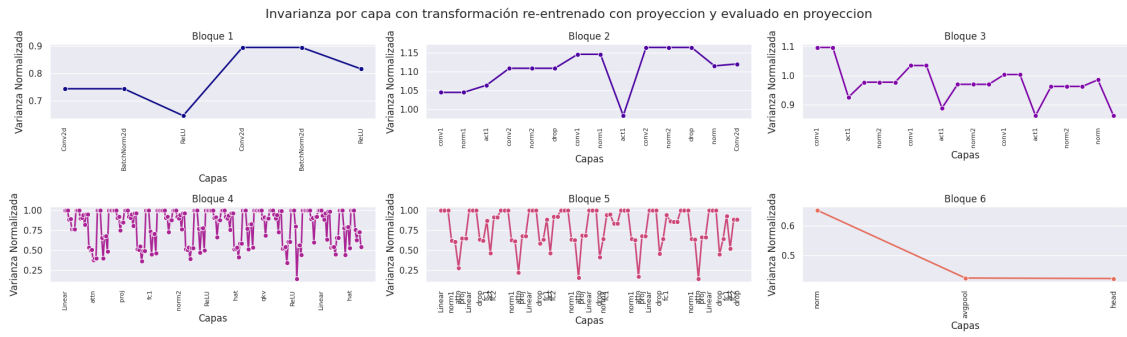


Figura 63: Arquitectura FasterViT, entrenada con enfoque Fine Tuning y transformación Proyección, invarianza evaluada con Proyección



Figura 64: Arquitectura FasterViT, entrenada con enfoque Fine Tuning y transformación Proyección, invarianza evaluada con Rotación

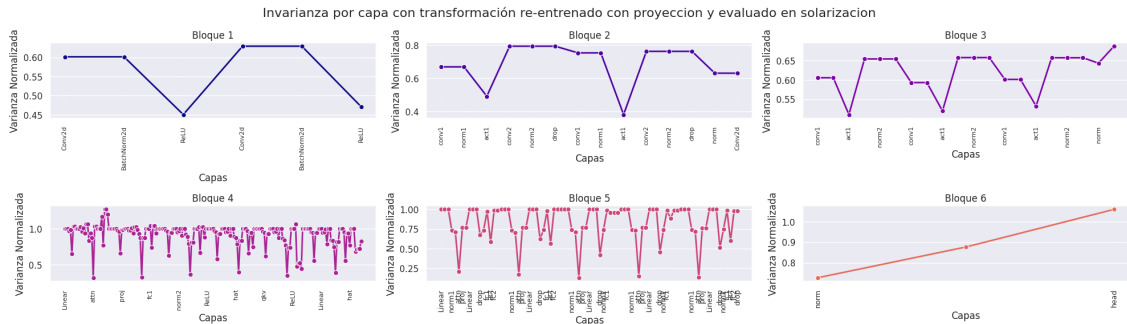


Figura 65: Arquitectura FasterViT, entrenada con enfoque Fine Tuning y transformación Proyección, invarianza evaluada con Solarización



Figura 66: Arquitectura FasterViT, entrenada con enfoque Fine Tuning y transformación Proyección, invarianza evaluada con Traslación

Transformación de entrenamiento: Rotacion

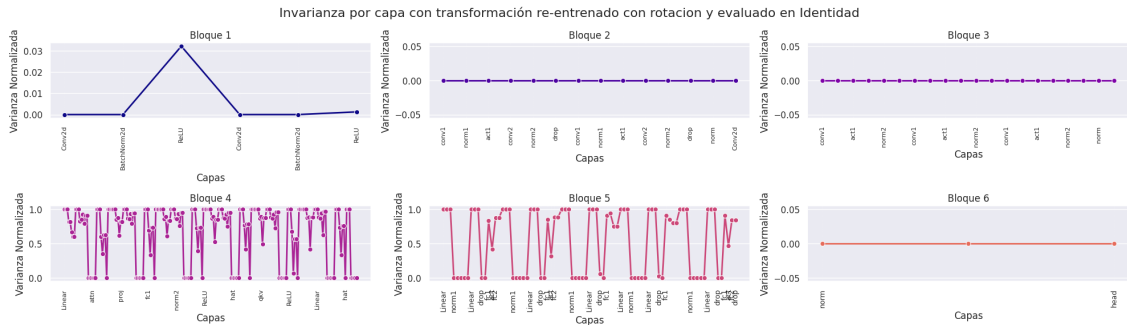


Figura 67: Arquitectura FasterViT, entrenada con enfoque Fine Tuning y transformación Rotacion, invarianza evaluada con Identidad



Figura 68: Arquitectura FasterViT, entrenada con enfoque Fine Tuning y transformación Rotacion, invarianza evaluada con Brillo



Figura 69: Arquitectura FasterViT, entrenada con enfoque Fine Tuning y transformación Rotacion, invarianza evaluada con Contraste



Figura 70: Arquitectura FasterViT, entrenada con enfoque Fine Tuning y transformación Rotacion, invarianza evaluada con escala de grises

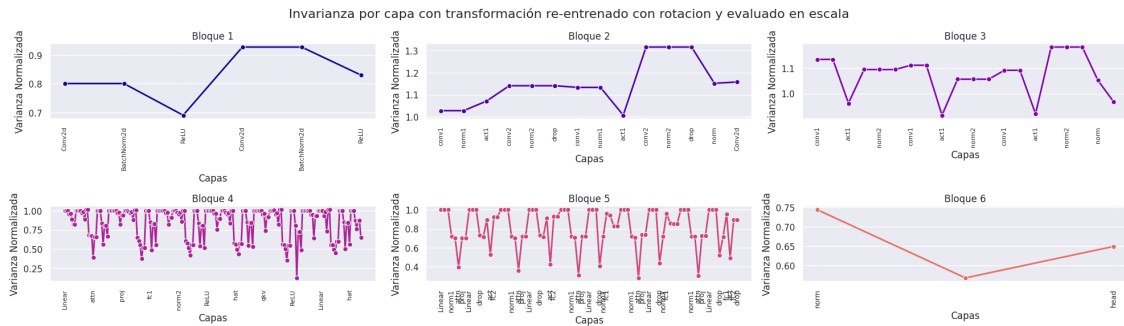


Figura 71: Arquitectura FasterViT, entrenada con enfoque Fine Tuning y transformación Rotacion, invarianza evaluada con Escala

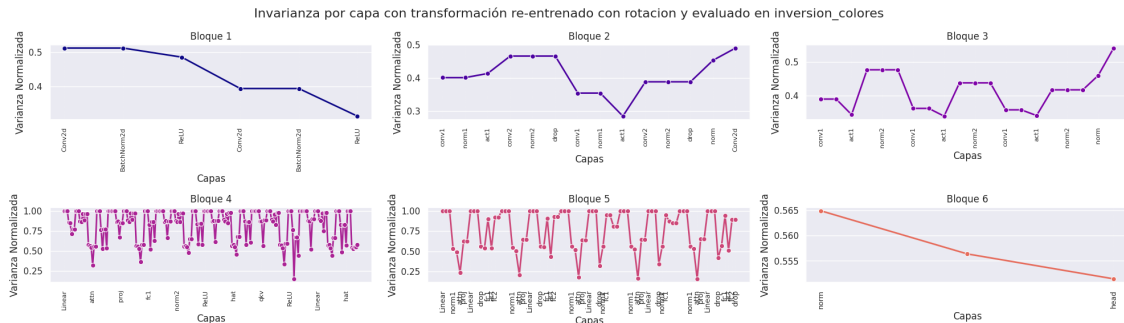


Figura 72: Arquitectura FasterViT, entrenada con enfoque Fine Tuning y transformación Rotacion, invarianza evaluada con inversion de colores



Figura 73: Arquitectura FasterViT, entrenada con enfoque Fine Tuning y transformación Rotacion, invarianza evaluada con Posterizacion



Figura 74: Arquitectura FasterViT, entrenada con enfoque Fine Tuning y transformación Rotacion, invarianza evaluada con Proyeccion



Figura 75: Arquitectura FasterViT, entrenada con enfoque Fine Tuning y transformación Rotacion, invarianza evaluada con Rotacion



Figura 76: Arquitectura FasterViT, entrenada con enfoque Fine Tuning y transformación Rotacion, invarianza evaluada con Solarizacion



Figura 77: Arquitectura FasterViT, entrenada con enfoque Fine Tuning y transformación Rotacion, invarianza evaluada con Traslacion

Transformación de entrenamiento: Solarización



Figura 78: Arquitectura FasterViT, entrenada con enfoque Fine Tuning y transformación Solarizacion, invarianza evaluada con Identidad



Figura 79: Arquitectura FasterViT, entrenada con enfoque Fine Tuning y transformación Solarizacion, invarianza evaluada con Brillo

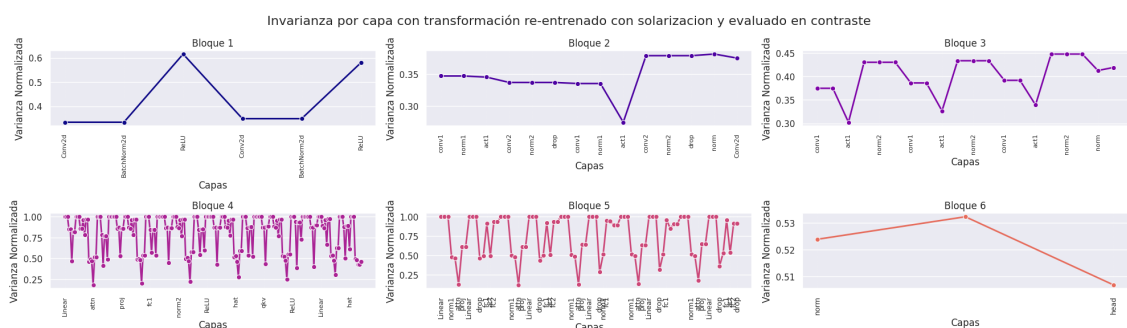


Figura 80: Arquitectura FasterViT, entrenada con enfoque Fine Tuning y transformación Solarizacion, invarianza evaluada con Contraste



Figura 81: Arquitectura FasterViT, entrenada con enfoque Fine Tuning y transformación Solarizacion, invarianza evaluada con escala_grises

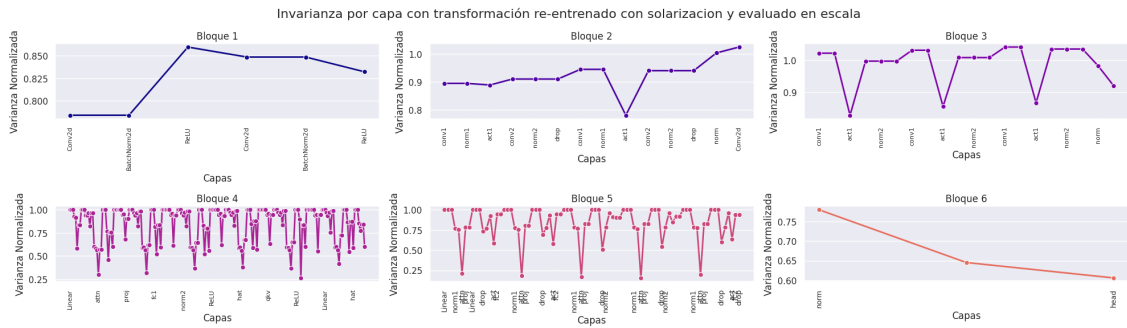


Figura 82: Arquitectura FasterViT, entrenada con enfoque Fine Tuning y transformacion Solarizacion, invarianza evaluada con Escala



Figura 83: Arquitectura FasterViT, entrenada con enfoque Fine Tuning y transformación Solarizacion, invarianza evaluada con inversion de colores

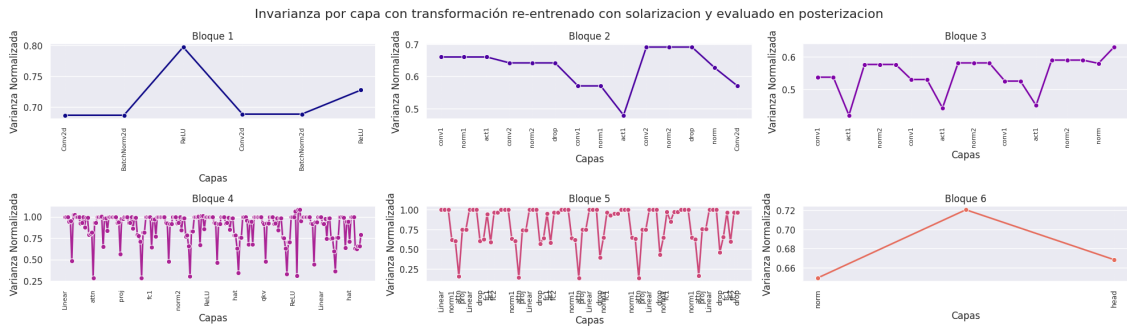


Figura 84: Arquitectura FasterViT, entrenada con enfoque Fine Tuning y transformación Solarizacion, invarianza evaluada con Posterizacion



Figura 85: Arquitectura FasterViT, entrenada con enfoque Fine Tuning y transformación Solarizacion, invarianza evaluada con Proyeccion



Figura 86: Arquitectura FasterViT, entrenada con enfoque Fine Tuning y transformación Solarizacion, invarianza evaluada con Rotacion

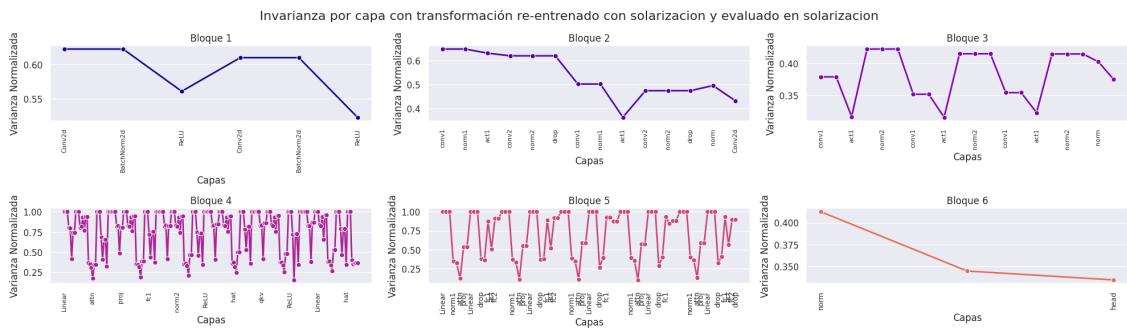


Figura 87: Arquitectura FasterViT, entrenada con enfoque Fine Tuning y transformación Solarizacion, invarianza evaluada con Solarizacion



Figura 88: Arquitectura FasterViT, entrenada con enfoque Fine Tuning y transformación Solarizacion, invarianza evaluada con Traslacion

Transformación de entrenamiento: Traslacion



Figura 89: Arquitectura FasterViT, entrenada con enfoque Fine Tuning y transformación Traslacion, invarianza evaluada con Identidad



Figura 90: Arquitectura FasterViT, entrenada con enfoque Fine Tuning y transformación Traslacion, invarianza evaluada con Brillo



Figura 91: Arquitectura FasterViT, entrenada con enfoque Fine Tuning y transformación Traslacion, invarianza evaluada con Contraste



Figura 92: Arquitectura FasterViT, entrenada con enfoque Fine Tuning y transformación Traslacion, invarianza evaluada con escala de grises



Figura 93: Arquitectura FasterViT, entrenada con enfoque Fine Tuning y transformación Traslacion, invarianza evaluada con Escala



Figura 94: Arquitectura FasterViT, entrenada con enfoque Fine Tuning y transformación Traslacion, invarianza evaluada con inversion de colores



Figura 95: Arquitectura FasterViT, entrenada con enfoque Fine Tuning y transformación Traslacion, invarianza evaluada con Posterizacion



Figura 96: Arquitectura FasterViT, entrenada con enfoque Fine Tuning y transformación Traslacion, invarianza evaluada con Proyeccion



Figura 97: Arquitectura FasterViT, entrenada con enfoque Fine Tuning y transformación Traslacion, invarianza evaluada con Rotacion



Figura 98: Arquitectura FasterViT, entrenada con enfoque Fine Tuning y transformación Traslacion, invarianza evaluada con Solarizacion



Figura 99: Arquitectura FasterViT, entrenada con enfoque Fine Tuning y transformación Traslacion, invarianza evaluada con Traslacion

Entrenamiento: Full

Modelo Identidad



Figura 100: Arquitectura FasterViT, entrenada con enfoque Full y modelo Identidad, invarianza evaluada con Identidad



Figura 101: Arquitectura FasterViT, entrenada con enfoque Full y modelo Identidad, invarianza evaluada con Brillo



Figura 102: Arquitectura FasterViT, entrenada con enfoque Full y modelo Identidad, invarianza evaluada con Contraste



Figura 103: Arquitectura FasterViT, entrenada con enfoque Full y modelo Identidad, invarianza evaluada con escala de grises

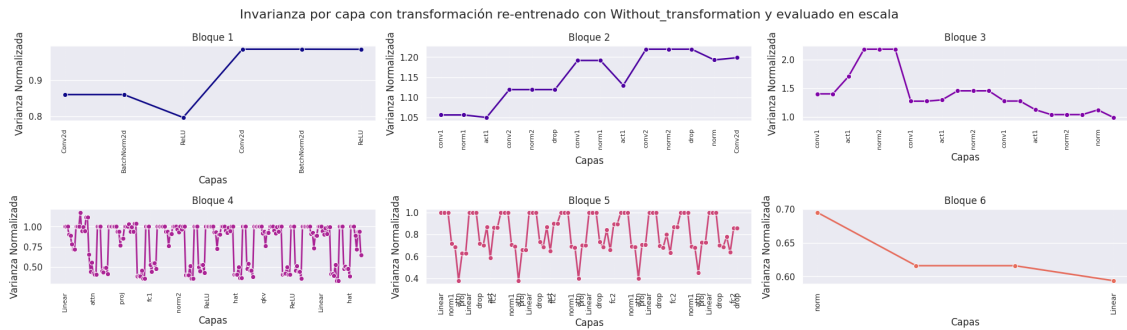


Figura 104: Arquitectura FasterViT, entrenada con enfoque Full y modelo Identidad, invarianza evaluada con Escala



Figura 105: Arquitectura FasterViT, entrenada con enfoque Full y modelo Identidad, invarianza evaluada con inversión de colores



Figura 106: Arquitectura FasterViT, entrenada con enfoque Full y modelo Identidad, invarianza evaluada con Posteriorización



Figura 107: Arquitectura FasterViT, entrenada con enfoque Full y modelo Identidad, invarianza evaluada con Proyección

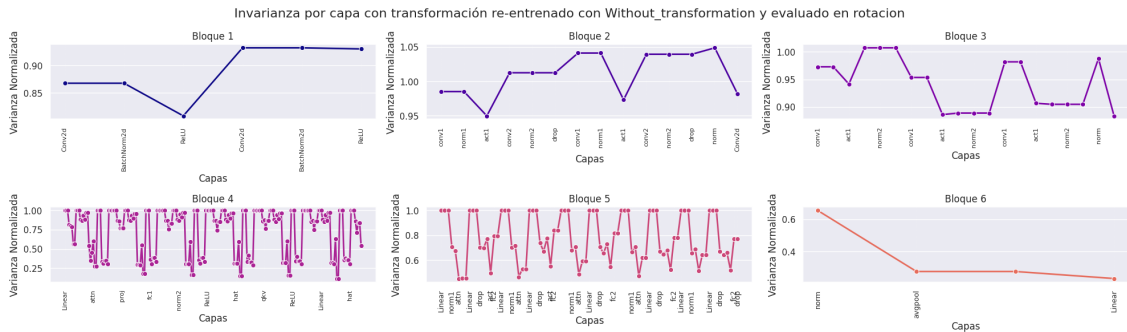


Figura 108: Arquitectura FasterViT, entrenada con enfoque Full y modelo Identidad, invarianza evaluada con Rotación



Figura 109: Arquitectura FasterViT, entrenada con enfoque Full y modelo Identidad, invarianza evaluada con Solarización

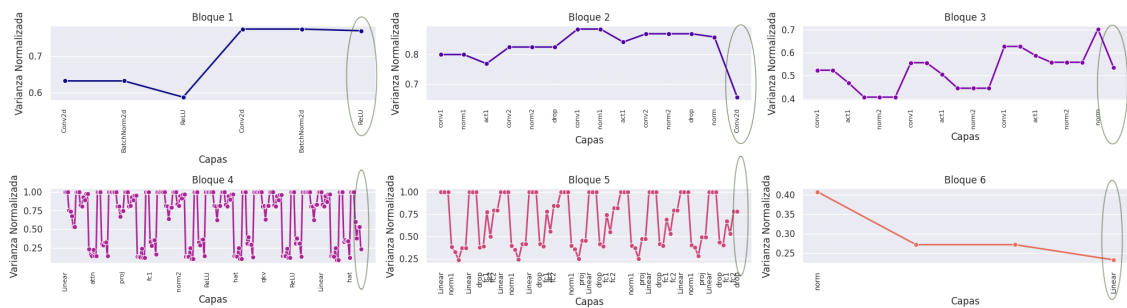


Figura 110: Arquitectura FasterViT, entrenada con enfoque Full y modelo Identidad, invarianza evaluada con Traslación



Figura 111: Arquitectura FasterViT, entrenada con enfoque Full y modelo Identidad, invarianza evaluada con Traslacion

Transformación de entrenamiento: Brillo



Figura 112: Arquitectura FasterViT, entrenada con enfoque Full y transformación Brillo, invarianza evaluada con Identidad



Figura 113: Arquitectura FasterViT, entrenada con enfoque Full y transformación Brillo, invarianza evaluada con Brillo



Figura 114: Arquitectura FasterViT, entrenada con enfoque Full y transformación Brillo, invarianza evaluada con Contraste



Figura 115: Arquitectura FasterViT, entrenada con enfoque Full y transformación Brillo, invarianza evaluada con escala de grises



Figura 116: Arquitectura FasterViT, entrenada con enfoque Full y transformación Brillo, invarianza evaluada con Escala



Figura 117: Arquitectura FasterViT, entrenada con enfoque Full y transformación Brillo, invarianza evaluada con inversion de colores



Figura 118: Arquitectura FasterViT, entrenada con enfoque Full y transformación Brillo, invarianza evaluada con Posterizacion



Figura 119: Arquitectura FasterViT, entrenada con enfoque Full y transformación Brillo, invarianza evaluada con Proyección

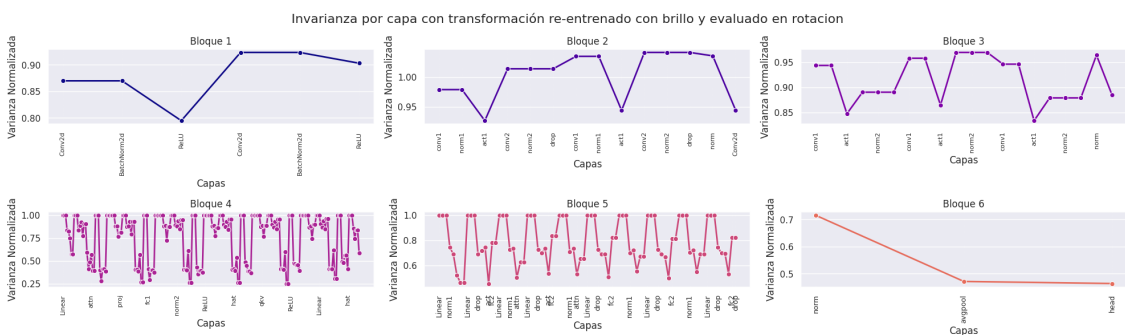


Figura 120: Arquitectura FasterViT, entrenada con enfoque Full y transformación Brillo, invarianza evaluada con Rotacion

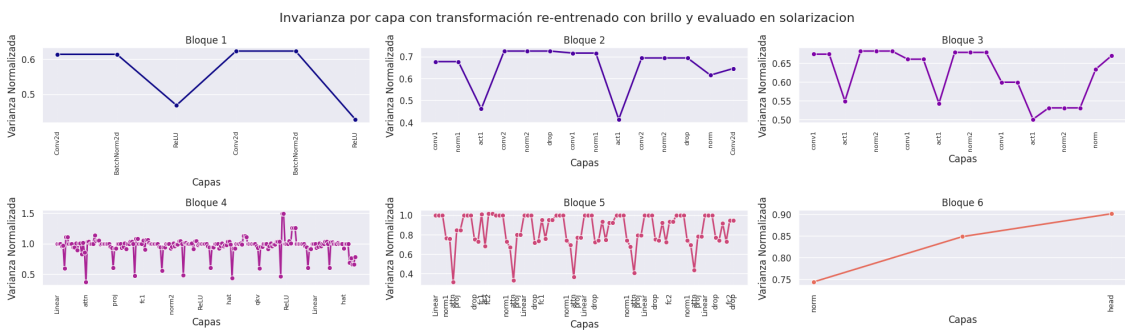


Figura 121: Arquitectura FasterViT, entrenada con enfoque Full y transformación Brillo, invarianza evaluada con Solarizacion



Figura 122: Arquitectura FasterViT, entrenada con enfoque Full y transformación Brillo, invarianza evaluada con Traslacion

Transformación de entrenamiento: Contraste

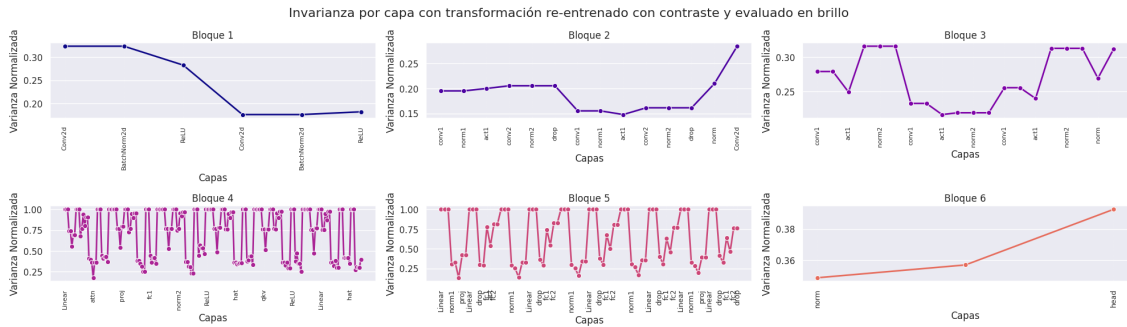


Figura 123: Arquitectura FasterViT, entrenada con enfoque Full y transformación Contraste, invarianza evaluada con Brillo



Figura 124: Arquitectura FasterViT, entrenada con enfoque Full y transformación Contraste, invarianza evaluada con Contraste



Figura 125: Arquitectura FasterViT, entrenada con enfoque Full y transformación Contraste, invarianza evaluada con escala de grises



Figura 126: Arquitectura FasterViT, entrenada con enfoque Full y transformación Contraste, invarianza evaluada con Escala



Figura 127: Arquitectura FasterViT, entrenada con enfoque Full y transformación Contraste, invarianza evaluada con inversion de colores



Figura 128: Arquitectura FasterViT, entrenada con enfoque Full y transformación Contraste, invarianza evaluada con Posterizacion



Figura 129: Arquitectura FasterViT, entrenada con enfoque Full y transformación Contraste, invarianza evaluada con Proyeccion

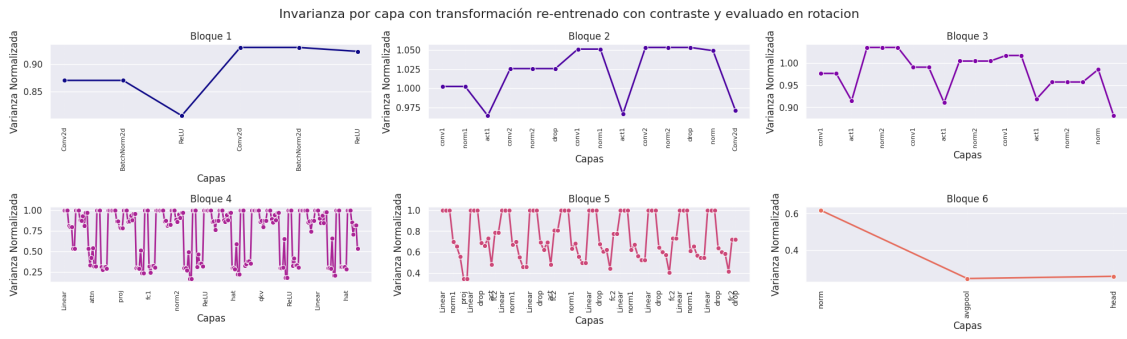


Figura 130: Arquitectura FasterViT, entrenada con enfoque Full y transformación Contraste, invarianza evaluada con Rotacion



Figura 131: Arquitectura FasterViT, entrenada con enfoque Full y transformación Contraste, invarianza evaluada con Solarizacion



Figura 132: Arquitectura FasterViT, entrenada con enfoque Full y transformación Contraste, invarianza evaluada con Traslacion

Transformación de entrenamiento: Escala

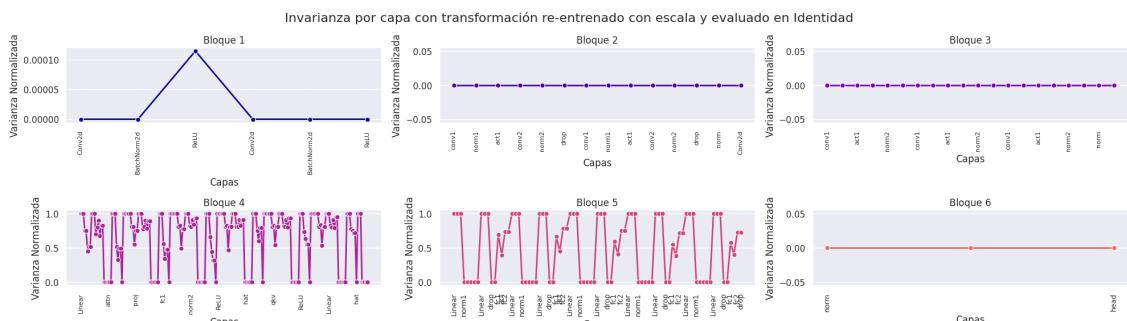


Figura 133: Arquitectura FasterViT, entrenada con enfoque Full y transformación Escala, invarianza evaluada con Identidad

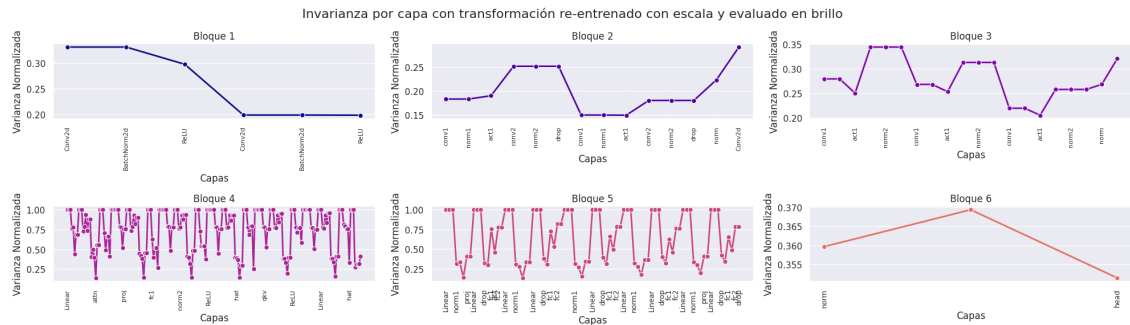


Figura 134: Arquitectura FasterViT, entrenada con enfoque Full y transformación Escala, invarianza evaluada con Brillo



Figura 135: Arquitectura FasterViT, entrenada con enfoque Full y transformación Escala, invarianza evaluada con Contraste



Figura 136: Arquitectura FasterViT, entrenada con enfoque Full y transformación Escala, invarianza evaluada con escala de grises

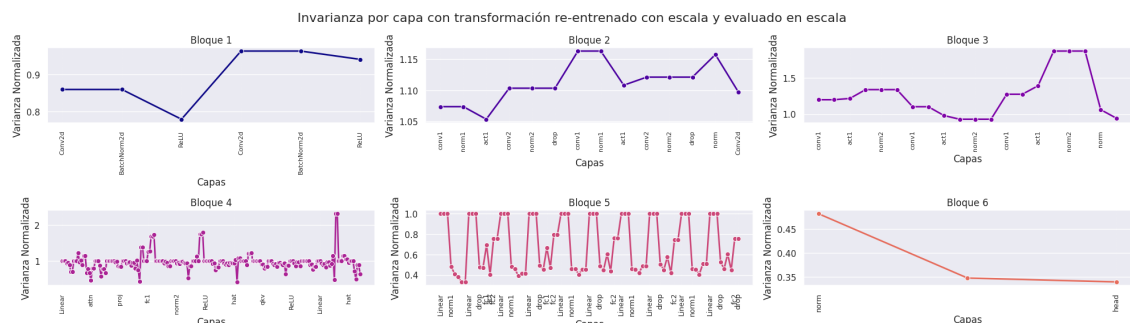


Figura 137: Arquitectura FasterViT, entrenada con enfoque Full y transformación Escala, invarianza evaluada con Escala



Figura 138: Arquitectura FasterViT, entrenada con enfoque Full y transformación Escala, invarianza evaluada con *inversion de colores*



Figura 139: Arquitectura FasterViT, entrenada con enfoque Full y transformación Escala, invarianza evaluada con *Posterizacion*



Figura 140: Arquitectura FasterViT, entrenada con enfoque Full y transformación Escala, invarianza evaluada con *Proyeccion*



Figura 141: Arquitectura FasterViT, entrenada con enfoque Full y transformación Escala, invarianza evaluada con *Rotacion*



Figura 142: Arquitectura FasterViT, entrenada con enfoque Full y transformación Escala, invarianza evaluada con Solarizacion



Figura 143: Arquitectura FasterViT, entrenada con enfoque Full y transformación Escala, invarianza evaluada con Traslacion

Transformación de entrenamiento: escala de grises

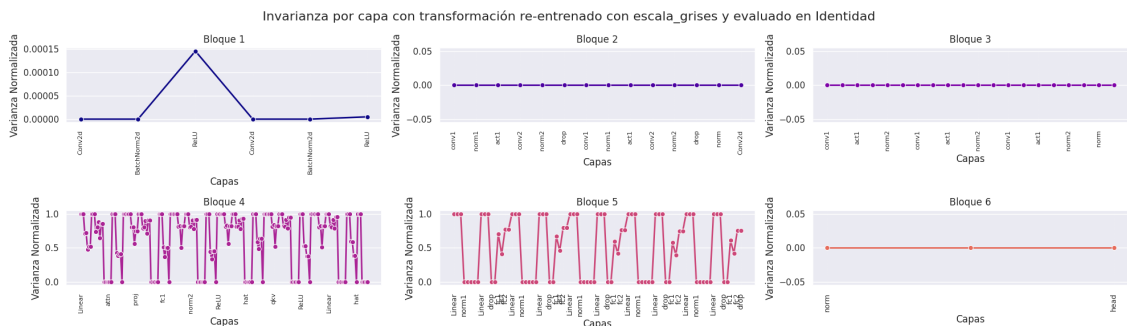


Figura 144: Arquitectura FasterViT, entrenada con enfoque Full y transformación escala de grises, invarianza evaluada con Identidad



Figura 145: Arquitectura FasterViT, entrenada con enfoque Full y transformación escala de grises, invarianza evaluada con Brillo



Figura 146: Arquitectura FasterViT, entrenada con enfoque Full y transformación escala de grises, invarianza evaluada con Contraste

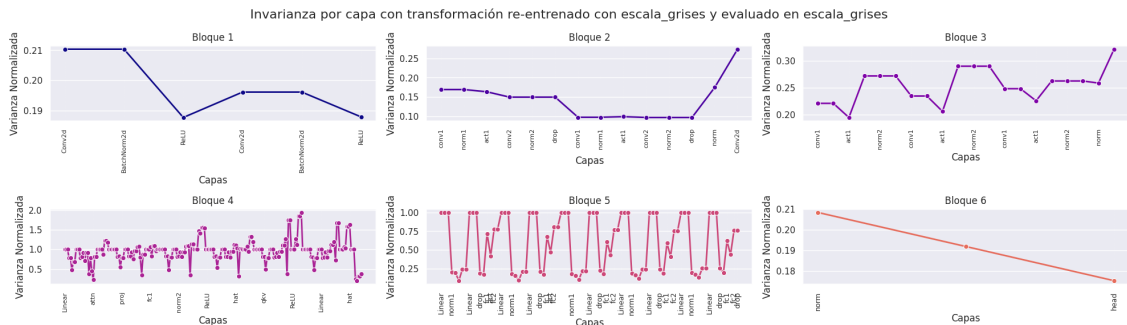


Figura 147: Arquitectura FasterViT, entrenada con enfoque Full y transformación escala de grises, invarianza evaluada con escala de grises



Figura 148: Arquitectura FasterViT, entrenada con enfoque Full y transformación escala de grises, invarianza evaluada con Escala



Figura 149: Arquitectura FasterViT, entrenada con enfoque Full y transformación escala de grises, invarianza evaluada con inversion de colores

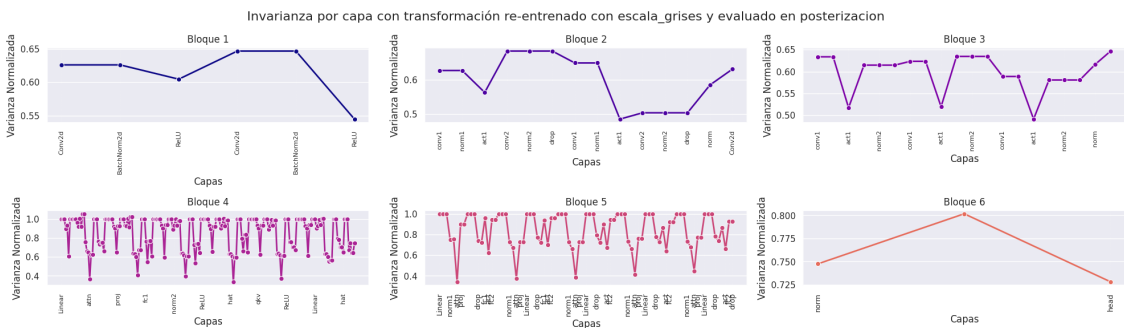


Figura 150: Arquitectura FasterViT, entrenada con enfoque Full y transformación escala de grises, invarianza evaluada con Posterizacion



Figura 151: Arquitectura FasterViT, entrenada con enfoque Full y transformación escala de grises, invarianza evaluada con Proyeccion



Figura 152: Arquitectura FasterViT, entrenada con enfoque Full y transformación escala de grises, invarianza evaluada con Rotacion

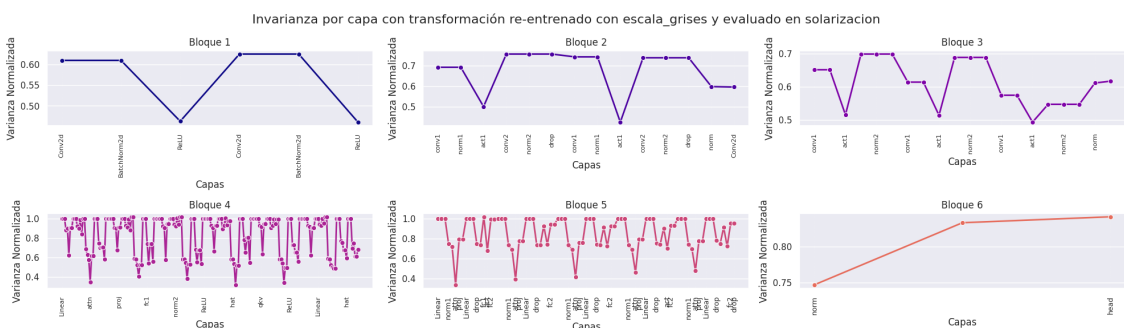


Figura 153: Arquitectura FasterViT, entrenada con enfoque Full y transformación escala de grises, invarianza evaluada con Solarizacion



Figura 154: Arquitectura FasterViT, entrenada con enfoque Full y transformación escala de grises, invarianza evaluada con Traslacion

Transformación de entrenamiento: inversión de colores



Figura 155: Arquitectura FasterViT, entrenada con enfoque Full y transformación inversion de colores, invarianza evaluada con Brillo



Figura 156: Arquitectura FasterViT, entrenada con enfoque Full y transformación inversion de colores, invarianza evaluada con Contraste



Figura 157: Arquitectura FasterViT, entrenada con enfoque Full y transformación inversion de colores, invarianza evaluada con escala de grises



Figura 158: Arquitectura FasterViT, entrenada con enfoque Full y transformación inversion_colores, invarianza evaluada con Escala



Figura 159: Arquitectura FasterViT, entrenada con enfoque Full y transformación inversion de colores, invarianza evaluada con inversion de colores



Figura 160: Arquitectura FasterViT, entrenada con enfoque Full y transformación inversion de colores, invarianza evaluada con Posterizacion



Figura 161: Arquitectura FasterViT, entrenada con enfoque Full y transformación inversion de colores, invarianza evaluada con Proyeccion

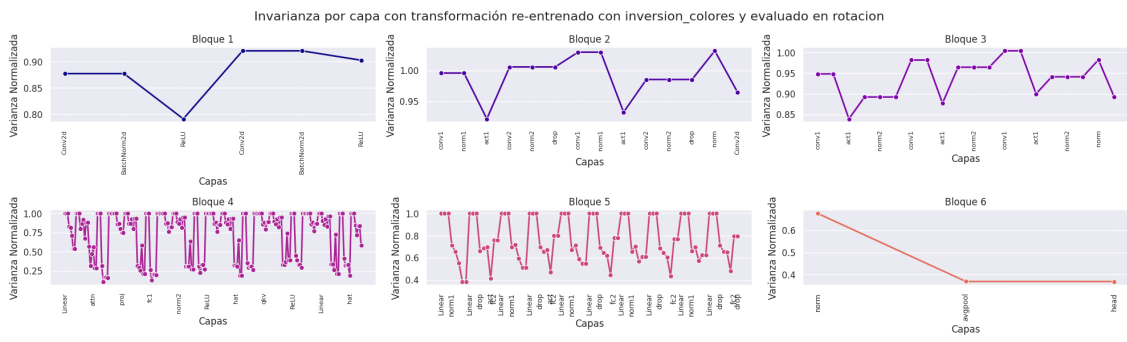


Figura 162: Arquitectura FasterViT, entrenada con enfoque Full y transformación inversion de colores, invarianza evaluada con Rotacion



Figura 163: Arquitectura FasterViT, entrenada con enfoque Full y transformación inversion de colores, invarianza evaluada con Solarizacion

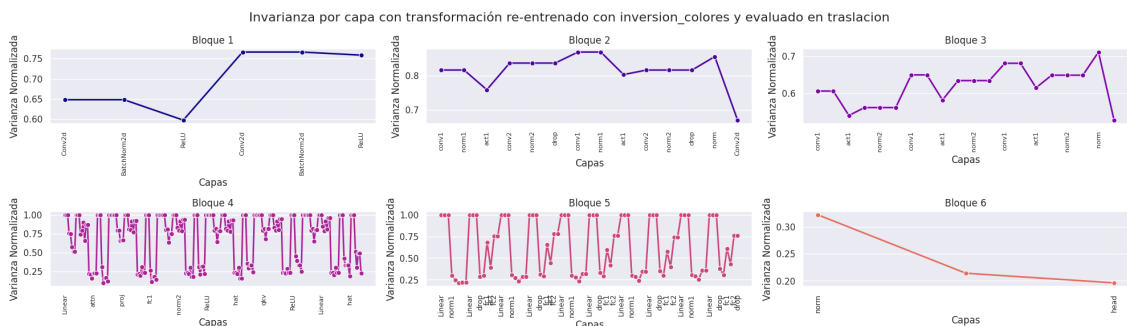


Figura 164: Arquitectura FasterViT, entrenada con enfoque Full y transformación inversion de colores, invarianza evaluada con Traslacion

Transformación de entrenamiento: Posterizacion

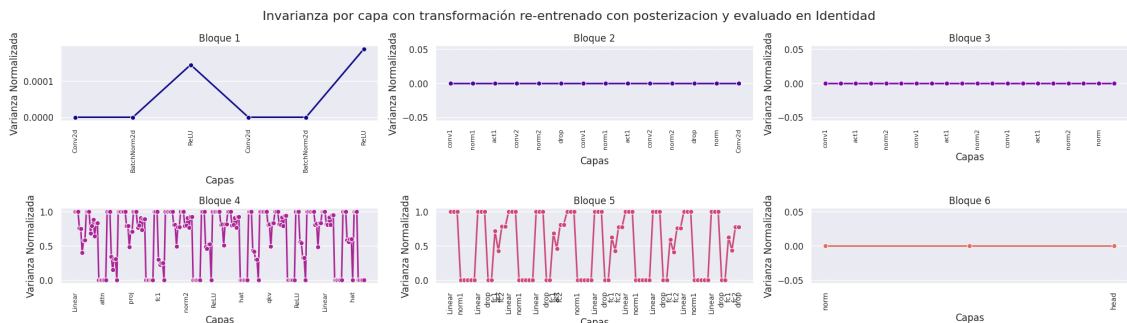


Figura 165: Arquitectura FasterViT, entrenada con enfoque Full y transformación Posterizacion, invarianza evaluada con Identidad



Figura 166: Arquitectura FasterViT, entrenada con enfoque Full y transformación Posterizacion, invarianza evaluada con Brillo

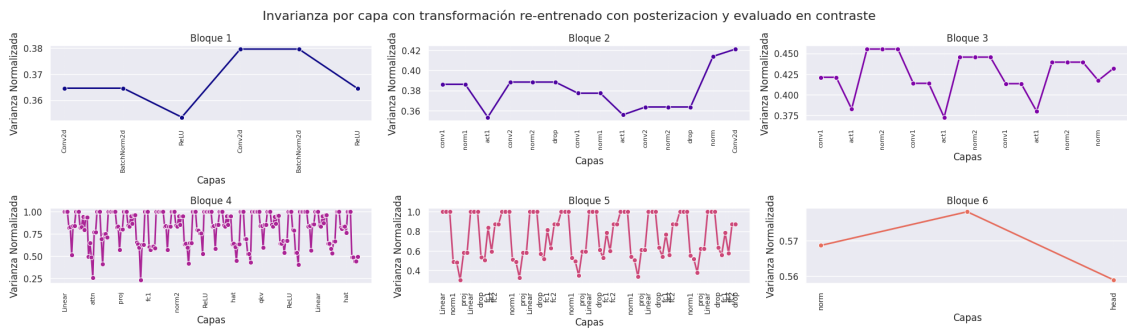


Figura 167: Arquitectura FasterViT, entrenada con enfoque Full y transformación Posterizacion, invarianza evaluada con Contraste



Figura 168: Arquitectura FasterViT, entrenada con enfoque Full y transformación Posterizacion, invarianza evaluada con escala de grises



Figura 169: Arquitectura FasterViT, entrenada con enfoque Full y transformación Posterizacion, invarianza evaluada con Escala

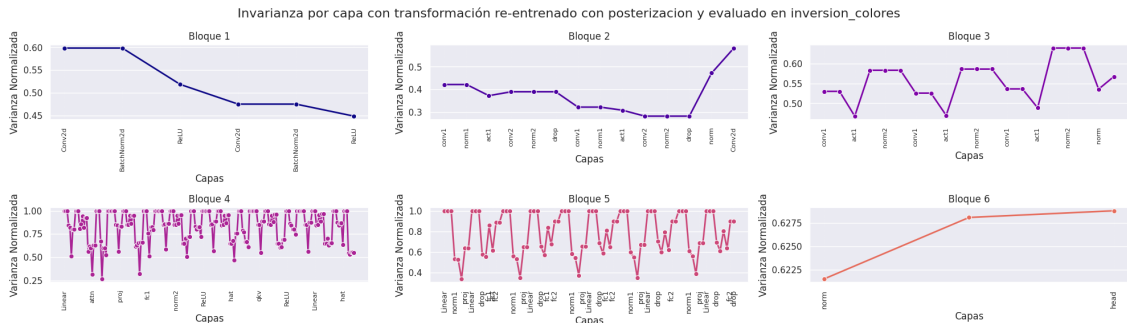


Figura 170: Arquitectura FasterViT, entrenada con enfoque Full y transformación Posterizacion, invarianza evaluada con inversion de colores



Figura 171: Arquitectura FasterViT, entrenada con enfoque Full y transformación Posterizacion, invarianza evaluada con Posterizacion



Figura 172: Arquitectura FasterViT, entrenada con enfoque Full y transformación Posterizacion, invarianza evaluada con Proyeccion

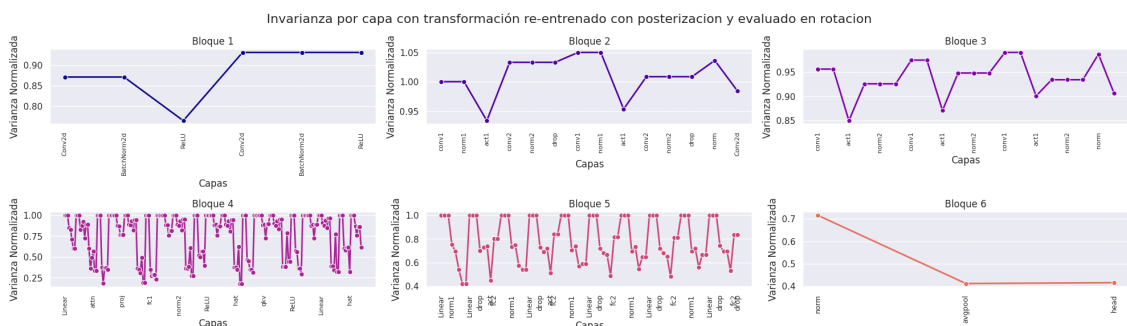


Figura 173: Arquitectura FasterViT, entrenada con enfoque Full y transformación Posterizacion, invarianza evaluada con Rotacion

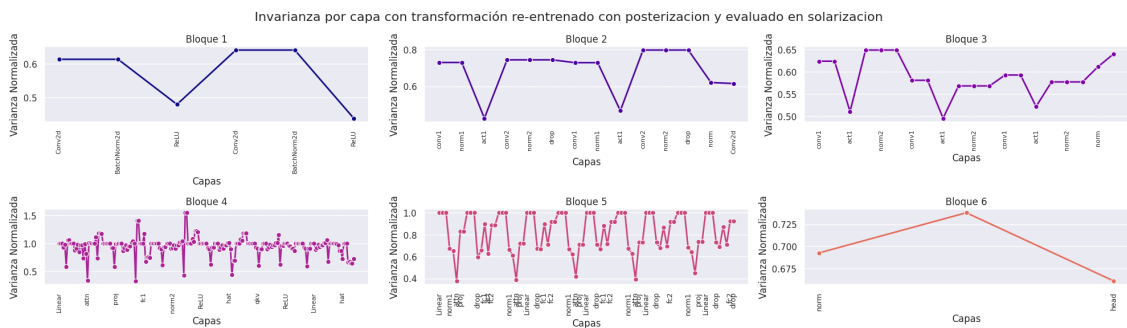


Figura 174: Arquitectura FasterViT, entrenada con enfoque Full y transformación Posterizacion, invarianza evaluada con Solarizacion

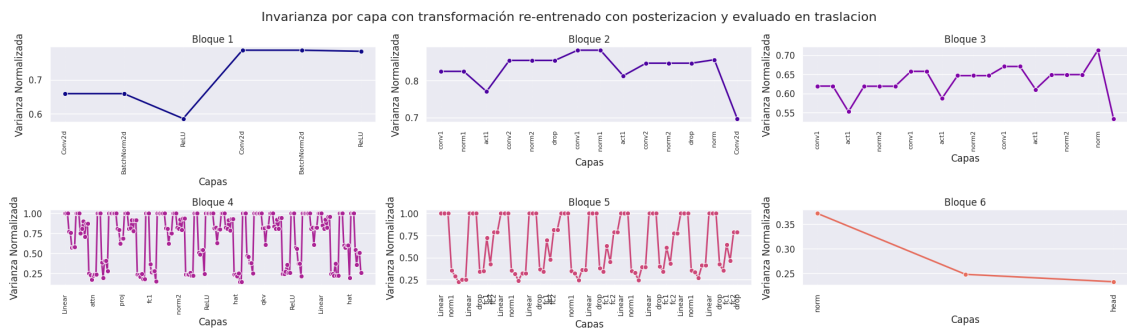


Figura 175: Arquitectura FasterViT, entrenada con enfoque Full y transformación Posterizacion, invarianza evaluada con Traslacion

Transformación de entrenamiento: Proyección



Figura 176: Arquitectura FasterViT, entrenada con enfoque Full y transformación Proyeccion, invarianza evaluada con Identidad



Figura 177: Arquitectura FasterViT, entrenada con enfoque Full y transformación Proyeccion, invarianza evaluada con Brillo



Figura 178: Arquitectura FasterViT, entrenada con enfoque Full y transformación Proyección, invarianza evaluada con Contraste



Figura 179: Arquitectura FasterViT, entrenada con enfoque Full y transformación Proyección, invarianza evaluada con escala de grises



Figura 180: Arquitectura FasterViT, entrenada con enfoque Full y transformación Proyección, invarianza evaluada con Escala



Figura 181: Arquitectura FasterViT, entrenada con enfoque Full y transformación Proyección, invarianza evaluada con inversión de colores



Figura 182: Arquitectura FasterViT, entrenada con enfoque Full y transformación Proyección, invarianza evaluada con Posterizacion



Figura 183: Arquitectura FasterViT, entrenada con enfoque Full y transformación Proyección, invarianza evaluada con Proyección

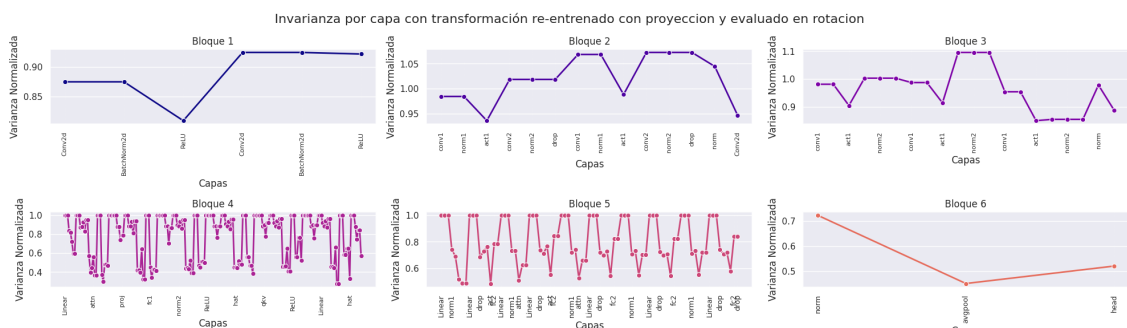


Figura 184: Arquitectura FasterViT, entrenada con enfoque Full y transformación Proyección, invarianza evaluada con Rotacion



Figura 185: Arquitectura FasterViT, entrenada con enfoque Full y transformación Proyección, invarianza evaluada con Solarizacion



Figura 186: Arquitectura FasterViT, entrenada con enfoque Full y transformación Proyección, invarianza evaluada con Traslacion

Transformación de entrenamiento: Rotacion

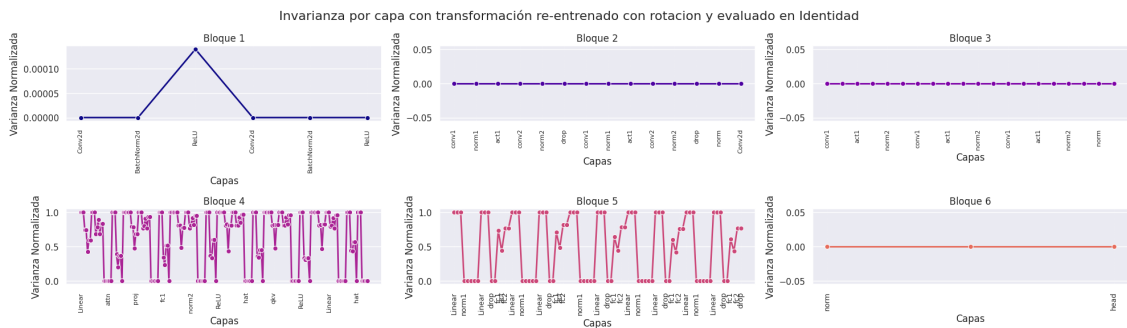


Figura 187: Arquitectura FasterViT, entrenada con enfoque Full y transformación Rotacion, invarianza evaluada con Identidad



Figura 188: Arquitectura FasterViT, entrenada con enfoque Full y transformación Rotacion, invarianza evaluada con Brillo



Figura 189: Arquitectura FasterViT, entrenada con enfoque Full y transformación Rotacion, invarianza evaluada con Contraste



Figura 190: Arquitectura FasterViT, entrenada con enfoque Full y transformación Rotacion, invarianza evaluada con escala de grises



Figura 191: Arquitectura FasterViT, entrenada con enfoque Full y transformación Rotacion, invarianza evaluada con Escala



Figura 192: Arquitectura FasterViT, entrenada con enfoque Full y transformación Rotacion, invarianza evaluada con inversion de colores



Figura 193: Arquitectura FasterViT, entrenada con enfoque Full y transformación Rotacion, invarianza evaluada con Posterizacion



Figura 194: Arquitectura FasterViT, entrenada con enfoque Full y transformación Rotacion, invarianza evaluada con Proyeccion

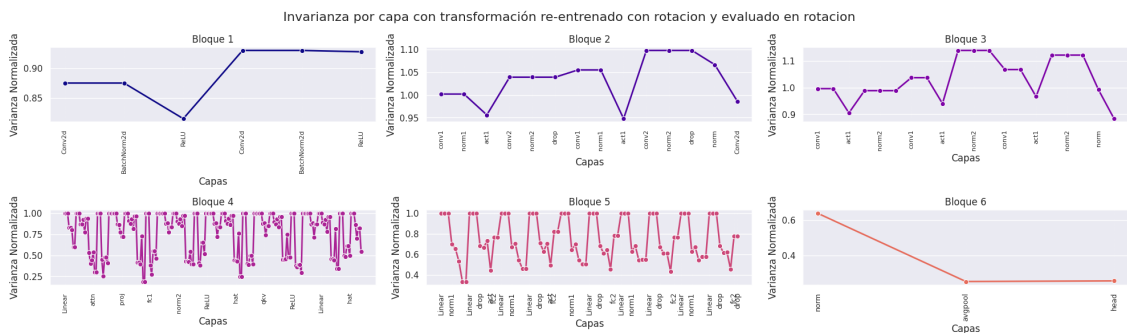


Figura 195: Arquitectura FasterViT, entrenada con enfoque Full y transformación Rotacion, invarianza evaluada con Rotacion

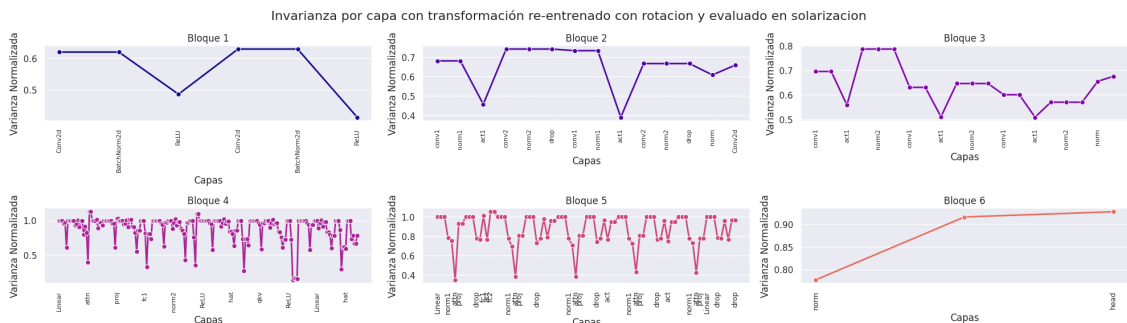


Figura 196: Arquitectura FasterViT, entrenada con enfoque Full y transformación Rotacion, invarianza evaluada con Solarizacion



Figura 197: Arquitectura FasterViT, entrenada con enfoque Full y transformación Rotacion, invarianza evaluada con Traslacion

Transformación de entrenamiento: Solarización

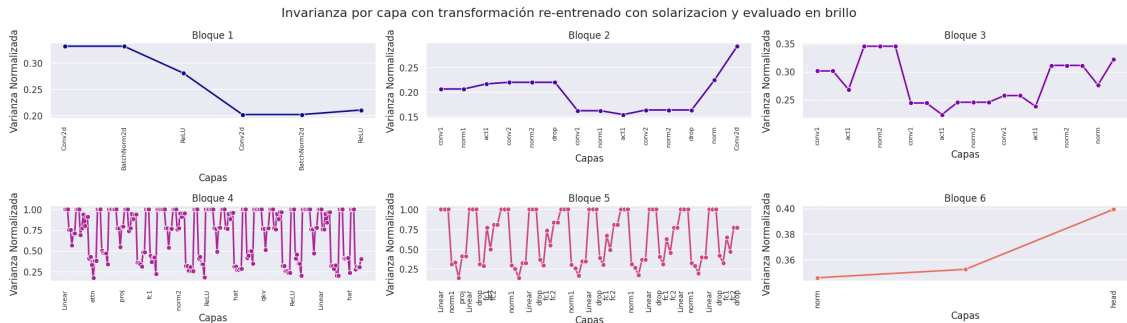


Figura 198: Arquitectura FasterViT, entrenada con enfoque Full y transformación Solarizacion, invarianza evaluada con Brillo

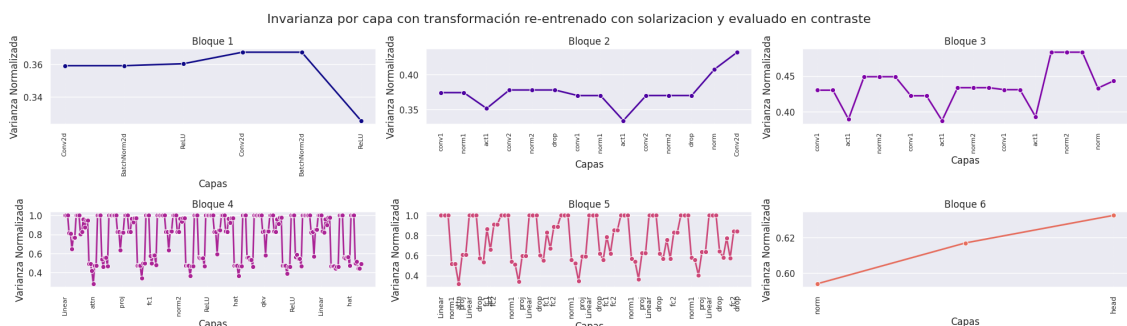


Figura 199: Arquitectura FasterViT, entrenada con enfoque Full y transformación Solarizacion, invarianza evaluada con Contraste



Figura 200: Arquitectura FasterViT, entrenada con enfoque Full y transformación Solarizacion, invarianza evaluada con escala de grises

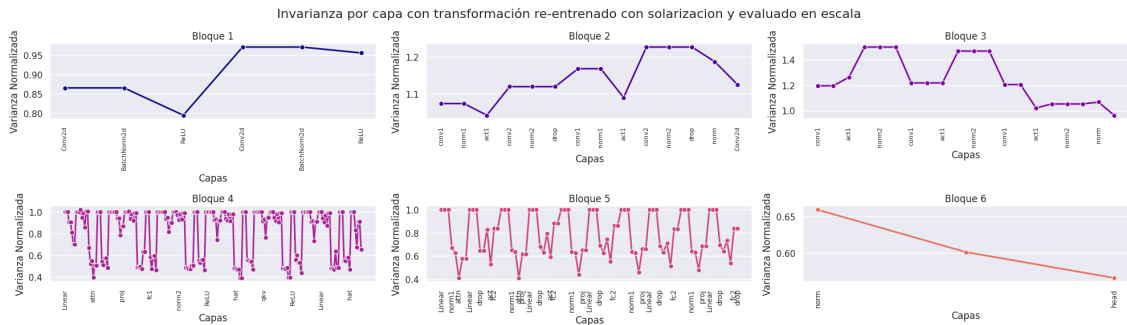


Figura 201: Arquitectura FasterViT, entrenada con enfoque Full y transformación Solarizacion, invarianza evaluada con Escala



Figura 202: Arquitectura FasterViT, entrenada con enfoque Full y transformación Solarizacion, invarianza evaluada con inversion de colores

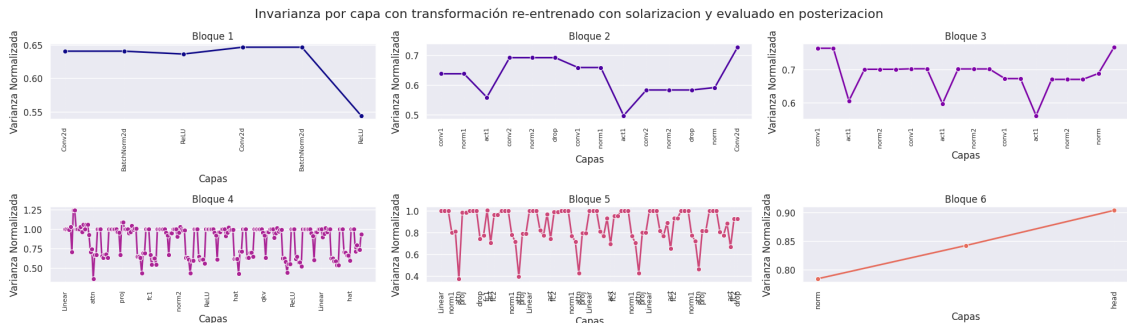


Figura 203: Arquitectura FasterViT, entrenada con enfoque Full y transformación Solarizacion, invarianza evaluada con Posterizacion



Figura 204: Arquitectura FasterViT, entrenada con enfoque Full y transformación Solarizacion, invarianza evaluada con Proyeccion

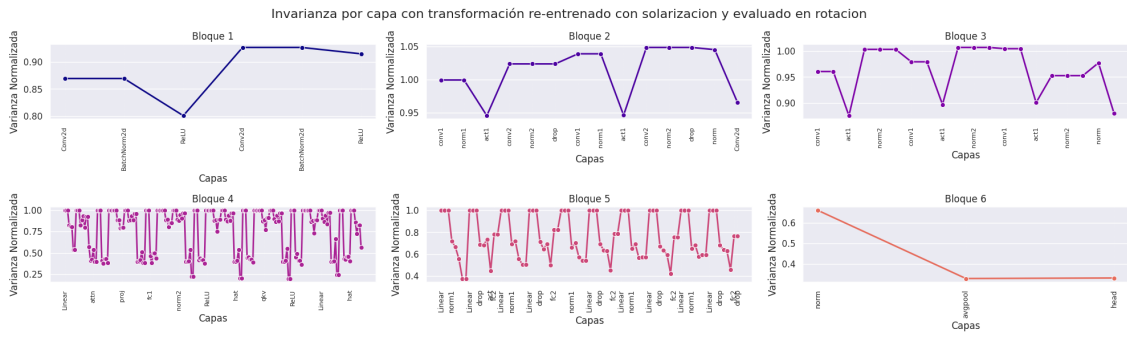


Figura 205: Arquitectura FasterViT, entrenada con enfoque Full y transformación Solarizacion, invarianza evaluada con Rotacion



Figura 206: Arquitectura FasterViT, entrenada con enfoque Full y transformación Solarizacion, invarianza evaluada con Solarizacion

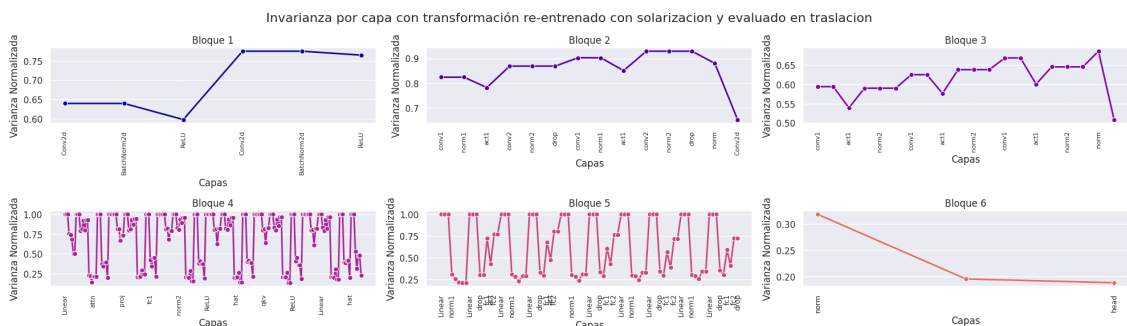


Figura 207: Arquitectura FasterViT, entrenada con enfoque Full y transformación Solarizacion, invarianza evaluada con Traslacion

Transformación de entrenamiento: Traslacion



Figura 208: Arquitectura FasterViT, entrenada con enfoque Full y transformación Traslacion, invarianza evaluada con Identidad



Figura 209: Arquitectura FasterViT, entrenada con enfoque Full y transformación Traslacion, invarianza evaluada con Brillo



Figura 210: Arquitectura FasterViT, entrenada con enfoque Full y transformación Traslacion, invarianza evaluada con Contraste



Figura 211: Arquitectura FasterViT, entrenada con enfoque Full y transformación Traslacion, invarianza evaluada con escala de grises



Figura 212: Arquitectura FasterViT, entrenada con enfoque Full y transformación Traslacion, invarianza evaluada con Escala



Figura 213: Arquitectura FasterViT, entrenada con enfoque Full y transformación Traslacion, invarianza evaluada con inversion de colores



Figura 214: Arquitectura FasterViT, entrenada con enfoque Full y transformación Traslacion, invarianza evaluada con Posterizacion



Figura 215: Arquitectura FasterViT, entrenada con enfoque Full y transformación Traslacion, invarianza evaluada con Proyeccion



Figura 216: Arquitectura FasterViT, entrenada con enfoque Full y transformación Traslacion, invarianza evaluada con Rotacion



Figura 217: Arquitectura FasterViT, entrenada con enfoque Full y transformación Traslacion, invarianza evaluada con Solarizacion



Figura 218: Arquitectura FasterViT, entrenada con enfoque Full y transformación Traslacion, invarianza evaluada con Traslacion

Entrenamiento: Transfer Learning

Modelo Identidad



Figura 219: Arquitectura FasterViT, entrenada con enfoque Transfer Learning y modelo Identidad, invarianza evaluada con Identidad



Figura 220: Arquitectura FasterViT, entrenada con enfoque Transfer Learning y modelo Identidad, invarianza evaluada con Brillo



Figura 221: Arquitectura FasterViT, entrenada con enfoque Transfer Learning y modelo Identidad, invarianza evaluada con Contraste



Figura 222: Arquitectura FasterViT, entrenada con enfoque Transfer Learning y modelo Identidad, invarianza evaluada con escala de grises



Figura 223: Arquitectura FasterViT, entrenada con enfoque Transfer Learning y modelo Identidad, invarianza evaluada con Escala

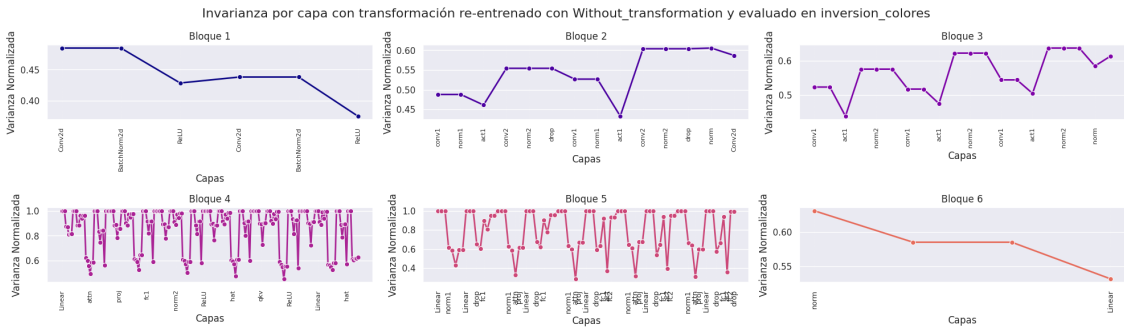


Figura 224: Arquitectura FasterViT, entrenada con enfoque Transfer Learning y modelo Identidad, invarianza evaluada con inversion de colores



Figura 225: Arquitectura FasterViT, entrenada con enfoque Transfer Learning y modelo Identidad, invarianza evaluada con Posterizacion



Figura 226: Arquitectura FasterViT, entrenada con enfoque Transfer Learning y modelo Identidad, invarianza evaluada con Proyeccion



Figura 227: Arquitectura FasterViT, entrenada con enfoque Transfer Learning y modelo Identidad, invarianza evaluada con Rotacion



Figura 228: Arquitectura FasterViT, entrenada con enfoque Transfer Learning y modelo Identidad, invarianza evaluada con Solarizacion



Figura 229: Arquitectura FasterViT, entrenada con enfoque Transfer Learning y modelo Identidad, invarianza evaluada con Traslacion

Transformación de entrenamiento: Brillo



Figura 230: Arquitectura FasterViT, entrenada con enfoque Transfer Learning y transformación Brillo, invarianza evaluada con Identidad



Figura 231: Arquitectura FasterViT, entrenada con enfoque Transfer Learning y transformación Brillo, invarianza evaluada con Brillo



Figura 232: Arquitectura FasterViT, entrenada con enfoque Transfer Learning y transformación Brillo, invarianza evaluada con Contraste



Figura 233: Arquitectura FasterViT, entrenada con enfoque Transfer Learning y transformación Brillo, invarianza evaluada con escala de grises



Figura 234: Arquitectura FasterViT, entrenada con enfoque Transfer Learning y transformación Brillo, invarianza evaluada con Escala



Figura 235: Arquitectura FasterViT, entrenada con enfoque Transfer Learning y transformación Brillo, invarianza evaluada con inversión de colores



Figura 236: Arquitectura FasterViT, entrenada con enfoque Transfer Learning y transformación Brillo, invarianza evaluada con Posterizacion



Figura 237: Arquitectura FasterViT, entrenada con enfoque Transfer Learning y transformación Brillo, invarianza evaluada con Proyeccion



Figura 238: Arquitectura FasterViT, entrenada con enfoque Transfer Learning y transformación Brillo, invarianza evaluada con Rotacion



Figura 239: Arquitectura FasterViT, entrenada con enfoque Transfer Learning y transformación Brillo, invarianza evaluada con Solarizacion



Figura 240: Arquitectura FasterViT, entrenada con enfoque Transfer Learning y transformación Brillo, invarianza evaluada con Traslacion

Transformación de entrenamiento: Contraste

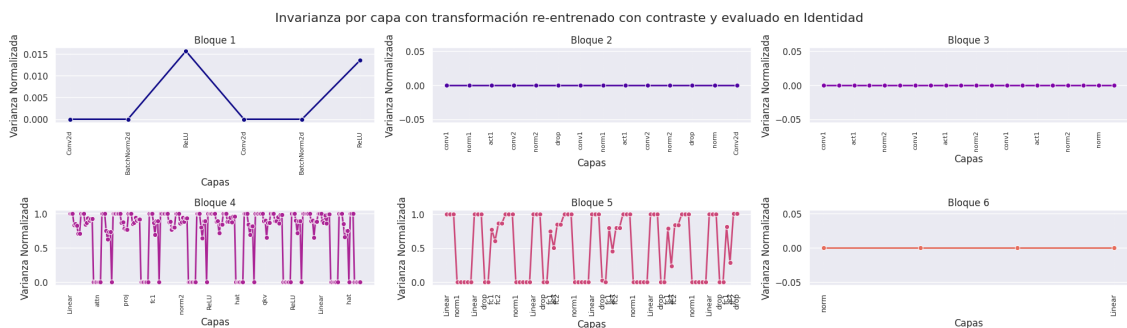


Figura 241: Arquitectura FasterViT, entrenada con enfoque Transfer Learning y transformación Contraste, invarianza evaluada con Identidad



Figura 242: Arquitectura FasterViT, entrenada con enfoque Transfer Learning y transformación Contraste, invarianza evaluada con Brillo

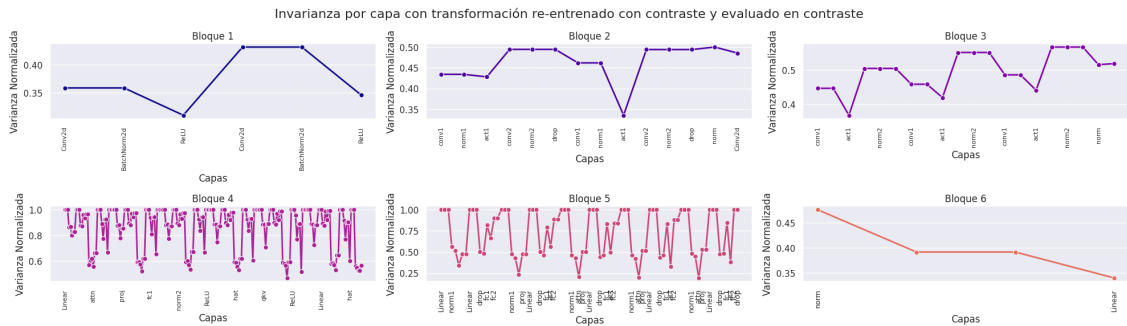


Figura 243: Arquitectura FasterViT, entrenada con enfoque Transfer Learning y transformación Contraste, invarianza evaluada con Contraste



Figura 244: Arquitectura FasterViT, entrenada con enfoque Transfer Learning y transformación Contraste, invarianza evaluada con escala de grises



Figura 245: Arquitectura FasterViT, entrenada con enfoque Transfer Learning y transformación Contraste, invarianza evaluada con Escala

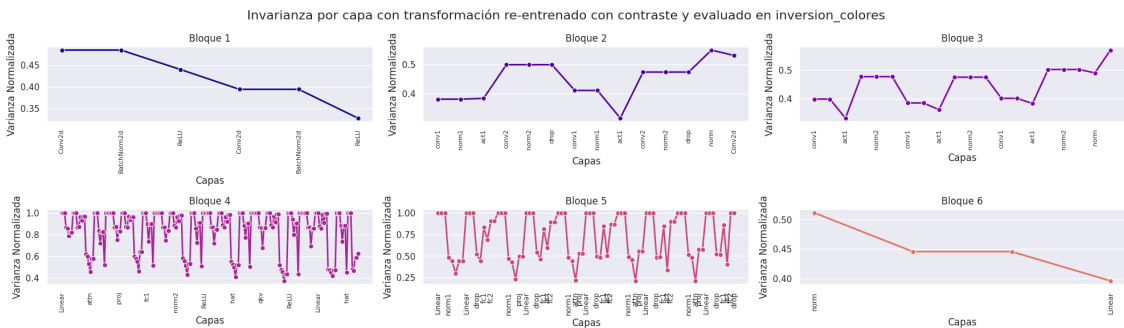


Figura 246: Arquitectura FasterViT, entrenada con enfoque Transfer Learning y transformación Contraste, invarianza evaluada con inversion de colores



Figura 247: Arquitectura FasterViT, entrenada con enfoque Transfer Learning y transformación Contraste, invarianza evaluada con Posterizacion



Figura 248: Arquitectura FasterViT, entrenada con enfoque Transfer Learning y transformación Contraste, invarianza evaluada con Proyección



Figura 249: Arquitectura FasterViT, entrenada con enfoque Transfer Learning y transformación Contraste, invarianza evaluada con Rotacion



Figura 250: Arquitectura FasterViT, entrenada con enfoque Transfer Learning y transformación Contraste, invarianza evaluada con Solarizacion



Figura 251: Arquitectura FasterViT, entrenada con enfoque Transfer Learning y transformación Contraste, invarianza evaluada con Traslacion

Transformación de entrenamiento: Escala



Figura 252: Arquitectura FasterViT, entrenada con enfoque Transfer Learning y transformación Escala, invarianza evaluada con Identidad



Figura 253: Arquitectura FasterViT, entrenada con enfoque Transfer Learning y transformación Escala, invarianza evaluada con Brillo



Figura 254: Arquitectura FasterViT, entrenada con enfoque Transfer Learning y transformación Escala, invarianza evaluada con Contraste



Figura 255: Arquitectura FasterViT, entrenada con enfoque Transfer Learning y transformación Escala, invarianza evaluada con escala de grises

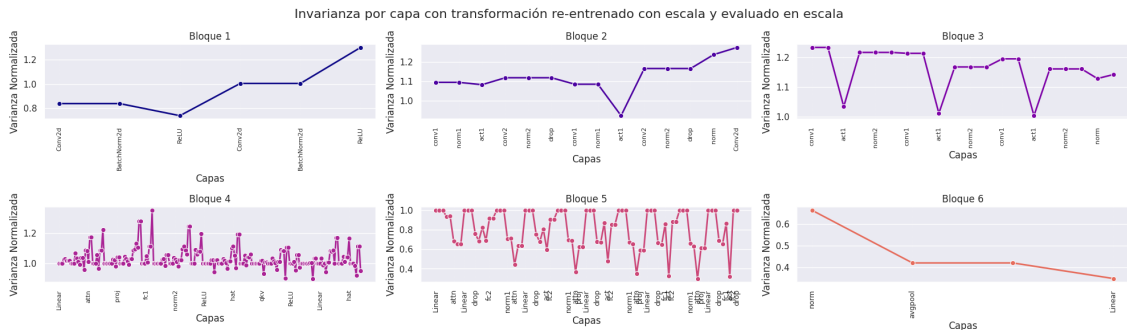


Figura 256: Arquitectura FasterViT, entrenada con enfoque Transfer Learning y transformación Escala, invarianza evaluada con Escala



Figura 257: Arquitectura FasterViT, entrenada con enfoque Transfer Learning y transformación Escala, invarianza evaluada con inversion de colores



Figura 258: Arquitectura FasterViT, entrenada con enfoque Transfer Learning y transformación Escala, invarianza evaluada con Posterizacion



Figura 259: Arquitectura FasterViT, entrenada con enfoque Transfer Learning y transformación Escala, invarianza evaluada con Proyección



Figura 260: Arquitectura FasterViT, entrenada con enfoque Transfer Learning y transformación Escala, invarianza evaluada con Rotacion



Figura 261: Arquitectura FasterViT, entrenada con enfoque Transfer Learning y transformación Escala, invarianza evaluada con Solarizacion



Figura 262: Arquitectura FasterViT, entrenada con enfoque Transfer Learning y transformación Escala, invarianza evaluada con Traslacion

Transformación de entrenamiento: escala de grises



Figura 263: Arquitectura FasterViT, entrenada con enfoque Transfer Learning y transformación escala de grises, invarianza evaluada con Identidad



Figura 264: Arquitectura FasterViT, entrenada con enfoque Transfer Learning y transformación escala de grises, invarianza evaluada con Brillo



Figura 265: Arquitectura FasterViT, entrenada con enfoque Transfer Learning y transformación escala de grises, invarianza evaluada con Contraste

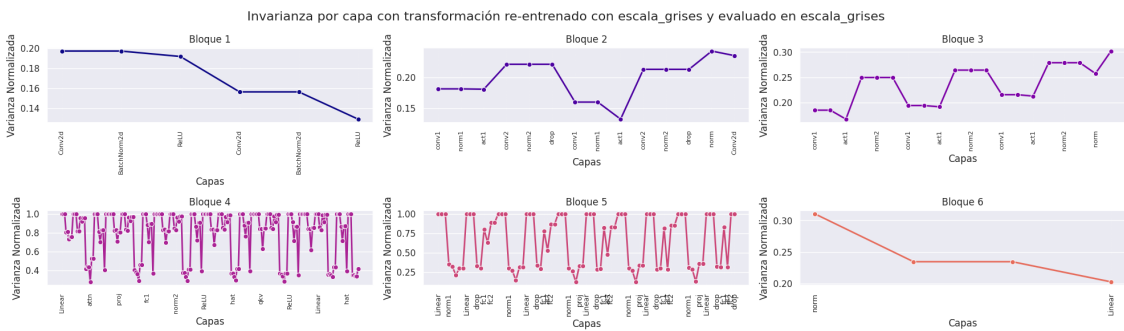


Figura 266: Arquitectura FasterViT, entrenada con enfoque Transfer Learning y transformación escala de grises, invarianza evaluada con escala de grises



Figura 267: Arquitectura FasterViT, entrenada con enfoque Transfer Learning y transformación escala de grises, invarianza evaluada con Escala



Figura 268: Arquitectura FasterViT, entrenada con enfoque Transfer Learning y transformación escala de grises, invarianza evaluada con inversion de colores

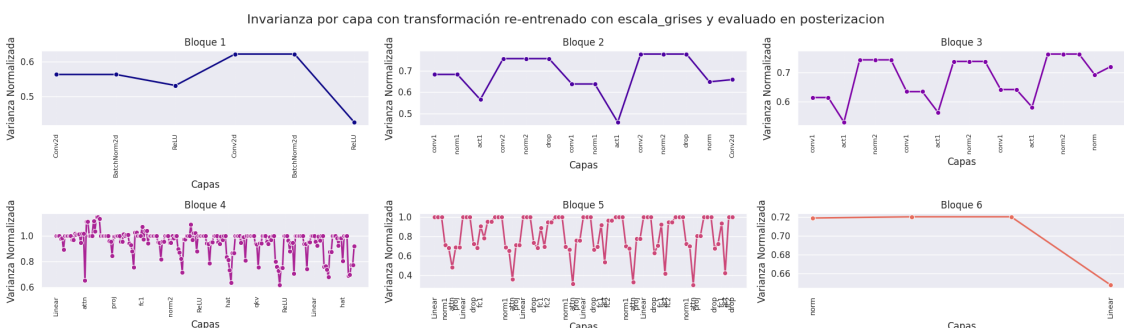


Figura 269: Arquitectura FasterViT, entrenada con enfoque Transfer Learning y transformación escala de grises, invarianza evaluada con Posterizacion



Figura 270: Arquitectura FasterViT, entrenada con enfoque Transfer Learning y transformación escala de grises, invarianza evaluada con Proyección



Figura 271: Arquitectura FasterViT, entrenada con enfoque Transfer Learning y transformación escala de grises, invarianza evaluada con Rotación

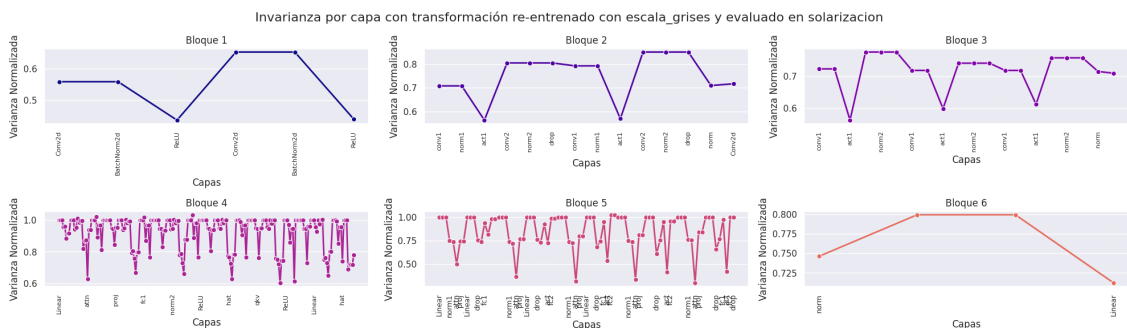


Figura 272: Arquitectura FasterViT, entrenada con enfoque Transfer Learning y transformación escala de grises, invarianza evaluada con Solarización



Figura 273: Arquitectura FasterViT, entrenada con enfoque Transfer Learning y transformación escala de grises, invarianza evaluada con Traslación

Transformación de entrenamiento: inversión de colores

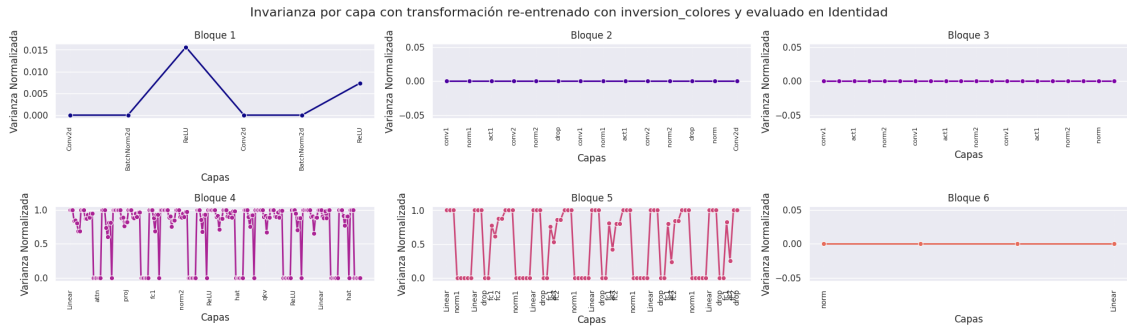


Figura 274: Arquitectura FasterViT, entrenada con enfoque Transfer Learning y transformación `inversion_colores`, invarianza evaluada con Identidad



Figura 275: Arquitectura FasterViT, entrenada con enfoque Transfer Learning y transformación `inversion_colores`, invarianza evaluada con Brillo



Figura 276: Arquitectura FasterViT, entrenada con enfoque Transfer Learning y transformación `inversion_colores`, invarianza evaluada con Contraste



Figura 277: Arquitectura FasterViT, entrenada con enfoque Transfer Learning y transformación inversion de colores, invarianza evaluada con escala de grises

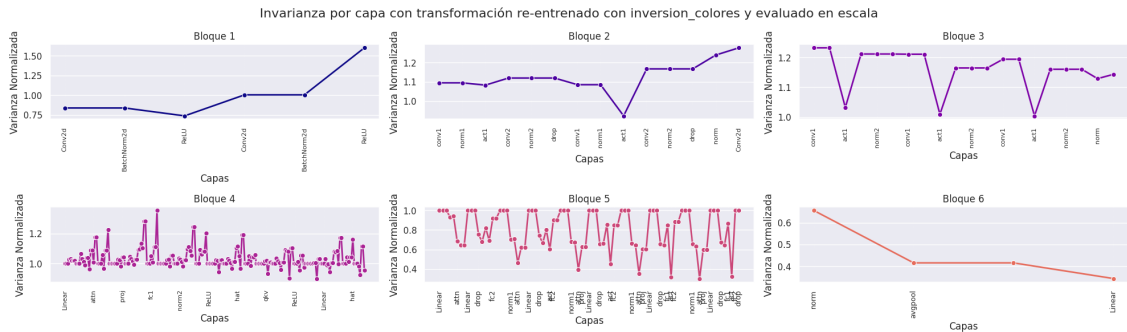


Figura 278: Arquitectura FasterViT, entrenada con enfoque Transfer Learning y transformación inversion de colores, invarianza evaluada con Escala

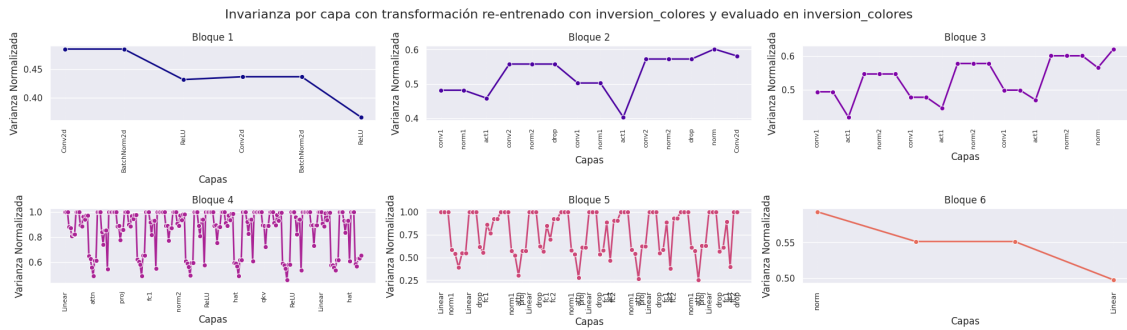


Figura 279: Arquitectura FasterViT, entrenada con enfoque Transfer Learning y transformación inversion de colores, invarianza evaluada con inversion de colores

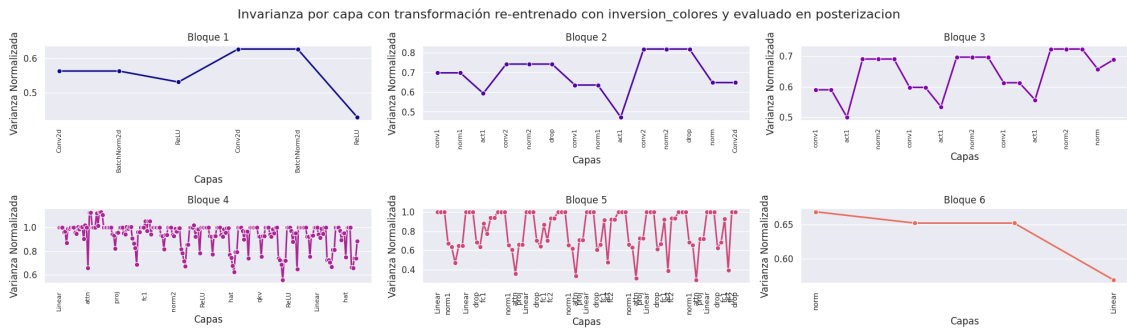


Figura 280: Arquitectura FasterViT, entrenada con enfoque Transfer Learning y transformación inversion de colores, invarianza evaluada con Posterizacion



Figura 281: Arquitectura FasterViT, entrenada con enfoque Transfer Learning y transformación inversion de colores, invarianza evaluada con Proyección



Figura 282: Arquitectura FasterViT, entrenada con enfoque Transfer Learning y transformación inversion de colores, invarianza evaluada con Rotacion



Figura 283: Arquitectura FasterViT, entrenada con enfoque Transfer Learning y transformación inversion de colores, invarianza evaluada con Solarizacion



Figura 284: Arquitectura FasterViT, entrenada con enfoque Transfer Learning y transformación inversion de colores, invarianza evaluada con Traslacion

Transformación de entrenamiento: Posterizacion

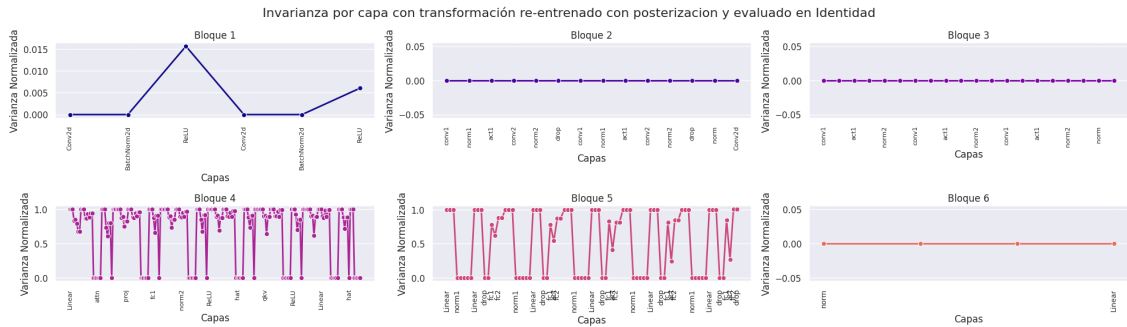


Figura 285: Arquitectura FasterViT, entrenada con enfoque Transfer Learning y transformación Posterizacion, invarianza evaluada con Identidad



Figura 286: Arquitectura FasterViT, entrenada con enfoque Transfer Learning y transformación Posterizacion, invarianza evaluada con Brillo



Figura 287: Arquitectura FasterViT, entrenada con enfoque Transfer Learning y transformación Posterizacion, invarianza evaluada con Contraste

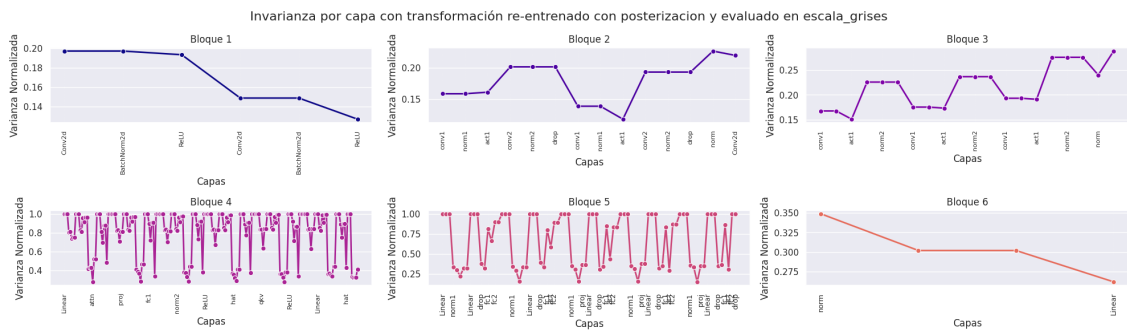


Figura 288: Arquitectura FasterViT, entrenada con enfoque Transfer Learning y transformación Posterizacion, invarianza evaluada con escala de grises

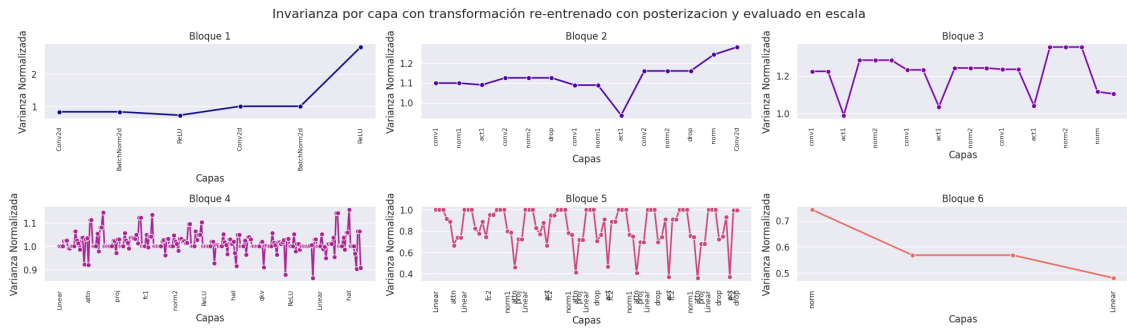


Figura 289: Arquitectura FasterViT, entrenada con enfoque Transfer Learning y transformación Posterizacion, invarianza evaluada con Escala



Figura 290: Arquitectura FasterViT, entrenada con enfoque Transfer Learning y transformación Posterizacion, invarianza evaluada con inversion de colores

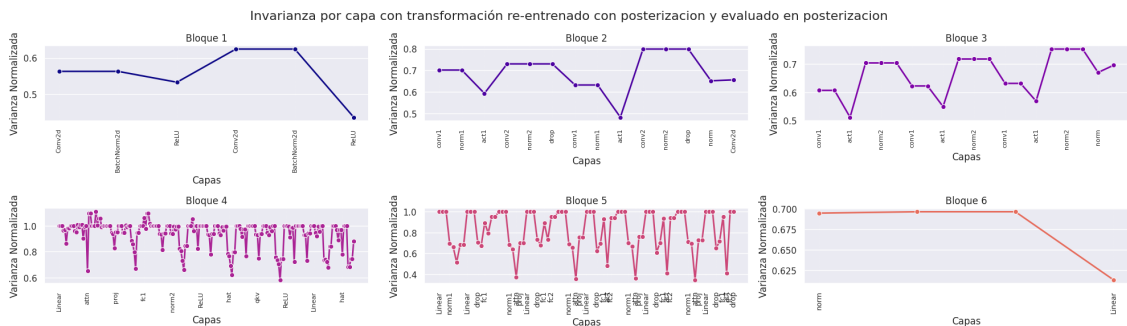


Figura 291: Arquitectura FasterViT, entrenada con enfoque Transfer Learning y transformación Posterizacion, invarianza evaluada con Posterizacion



Figura 292: Arquitectura FasterViT, entrenada con enfoque Transfer Learning y transformación Posterizacion, invarianza evaluada con Proyeccion

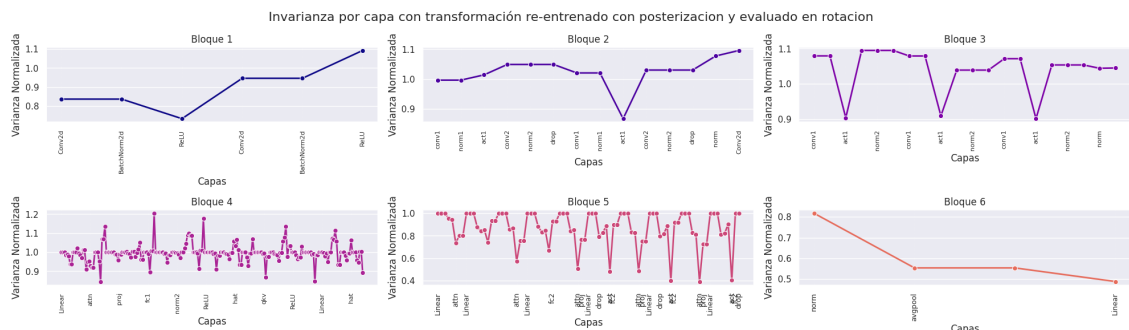


Figura 293: Arquitectura FasterViT, entrenada con enfoque Transfer Learning y transformación Posterizacion, invarianza evaluada con Rotacion

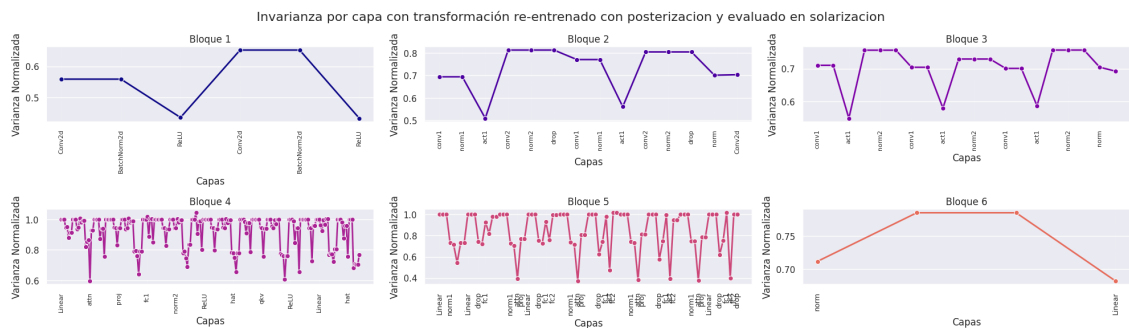


Figura 294: Arquitectura FasterViT, entrenada con enfoque Transfer Learning y transformación Posterizacion, invarianza evaluada con Solarizacion



Figura 295: Arquitectura FasterViT, entrenada con enfoque Transfer Learning y transformación Posterizacion, invarianza evaluada con Traslacion

Transformación de entrenamiento: Proyección

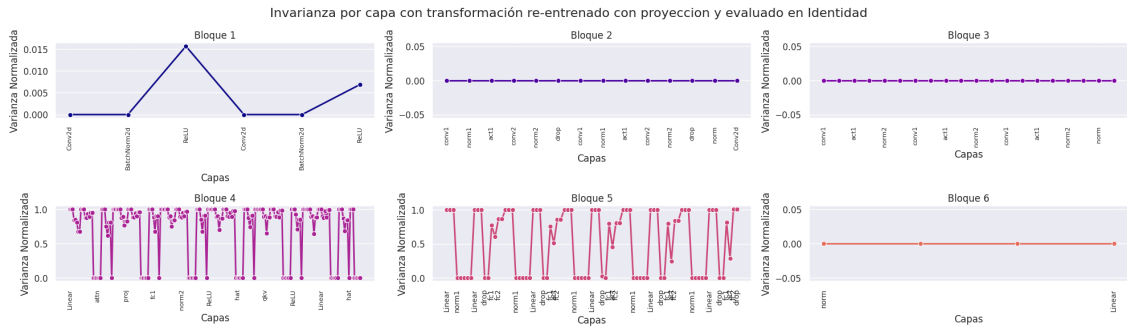


Figura 296: Arquitectura FasterViT, entrenada con enfoque Transfer Learning y transformación Proyección, invarianza evaluada con Identidad



Figura 297: Arquitectura FasterViT, entrenada con enfoque Transfer Learning y transformación Proyección, invarianza evaluada con Brillo



Figura 298: Arquitectura FasterViT, entrenada con enfoque Transfer Learning y transformación Proyección, invarianza evaluada con Contraste



Figura 299: Arquitectura FasterViT, entrenada con enfoque Transfer Learning y transformación Proyección, invarianza evaluada con escala de grises



Figura 300: Arquitectura FasterViT, entrenada con enfoque Transfer Learning y transformación Proyección, invarianza evaluada con Escala

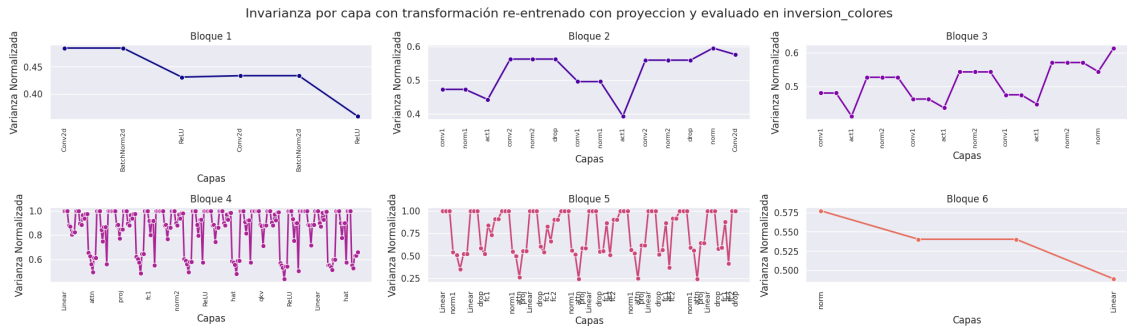


Figura 301: Arquitectura FasterViT, entrenada con enfoque Transfer Learning y transformación Proyección, invarianza evaluada con inversión de colores

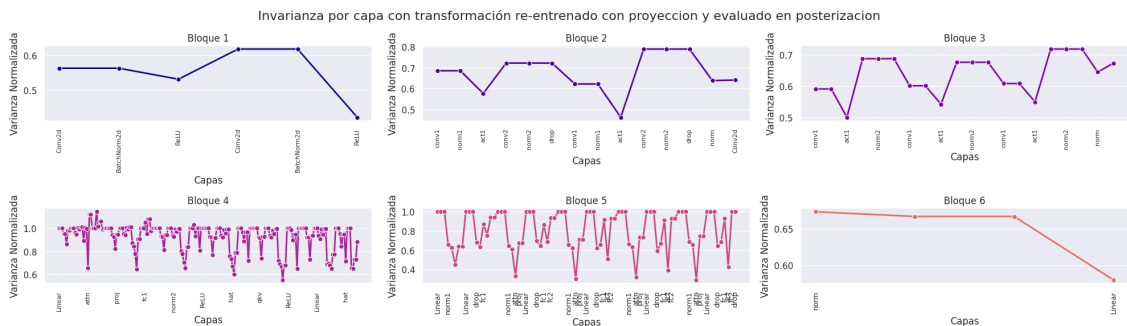


Figura 302: Arquitectura FasterViT, entrenada con enfoque Transfer Learning y transformación Proyección, invarianza evaluada con Posterización

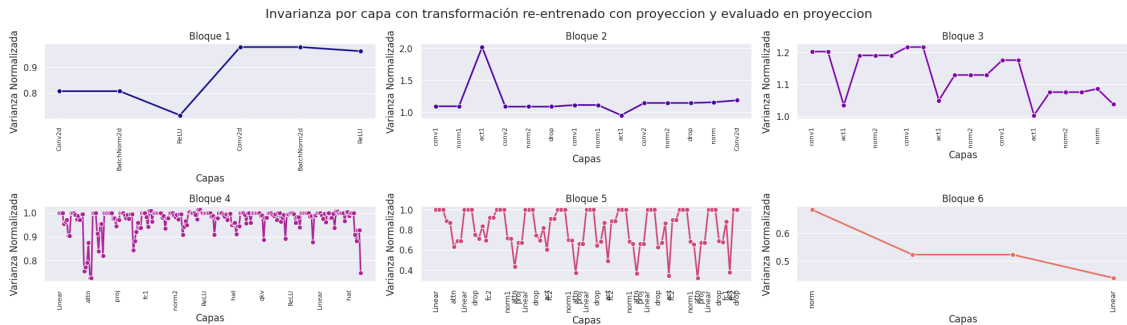


Figura 303: Arquitectura FasterViT, entrenada con enfoque Transfer Learning y transformación Proyección, invarianza evaluada con Proyección



Figura 304: Arquitectura FasterViT, entrenada con enfoque Transfer Learning y transformación Proyección, invarianza evaluada con Rotacion



Figura 305: Arquitectura FasterViT, entrenada con enfoque Transfer Learning y transformación Proyección, invarianza evaluada con Solarización



Figura 306: Arquitectura FasterViT, entrenada con enfoque Transfer Learning y transformación Proyección, invarianza evaluada con Traslacion

Transformación de entrenamiento: Rotacion



Figura 307: Arquitectura FasterViT, entrenada con enfoque Transfer Learning y transformación Rotacion, invarianza evaluada con Identidad



Figura 308: Arquitectura FasterViT, entrenada con enfoque Transfer Learning y transformación Rotacion, invarianza evaluada con Brillo



Figura 309: Arquitectura FasterViT, entrenada con enfoque Transfer Learning y transformación Rotacion, invarianza evaluada con Contraste



Figura 310: Arquitectura FasterViT, entrenada con enfoque Transfer Learning y transformación Rotacion, invarianza evaluada con escala de grises



Figura 311: Arquitectura FasterViT, entrenada con enfoque Transfer Learning y transformación Rotacion, invarianza evaluada con Escala



Figura 312: Arquitectura FasterViT, entrenada con enfoque Transfer Learning y transformación Rotacion, invarianza evaluada con inversion de colores



Figura 313: Arquitectura FasterViT, entrenada con enfoque Transfer Learning y transformación Rotacion, invarianza evaluada con Posterizacion



Figura 314: Arquitectura FasterViT, entrenada con enfoque Transfer Learning y transformación Rotacion, invarianza evaluada con Proyeccion



Figura 315: Arquitectura FasterViT, entrenada con enfoque Transfer Learning y transformación Rotacion, invarianza evaluada con Rotacion



Figura 316: Arquitectura FasterViT, entrenada con enfoque Transfer Learning y transformación Rotacion, invarianza evaluada con Solarizacion



Figura 317: Arquitectura FasterViT, entrenada con enfoque Transfer Learning y transformación Rotacion, invarianza evaluada con Traslacion

Transformación de entrenamiento: Solarización

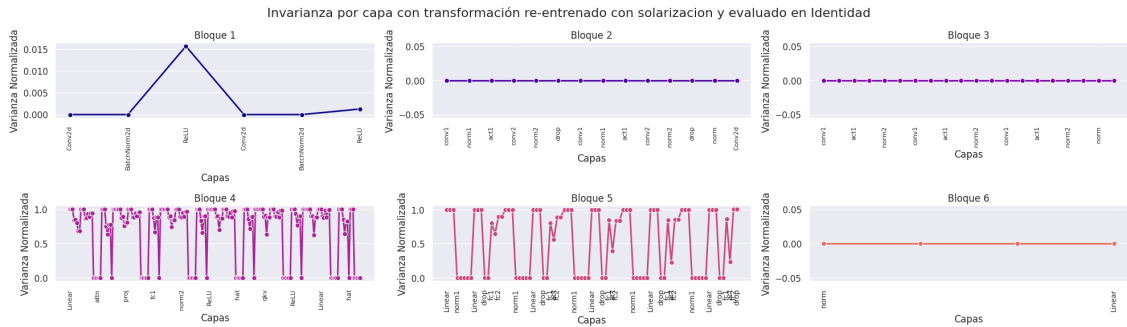


Figura 318: Arquitectura FasterViT, entrenada con enfoque Transfer Learning y transformación Solarizacion, invarianza evaluada con Identidad

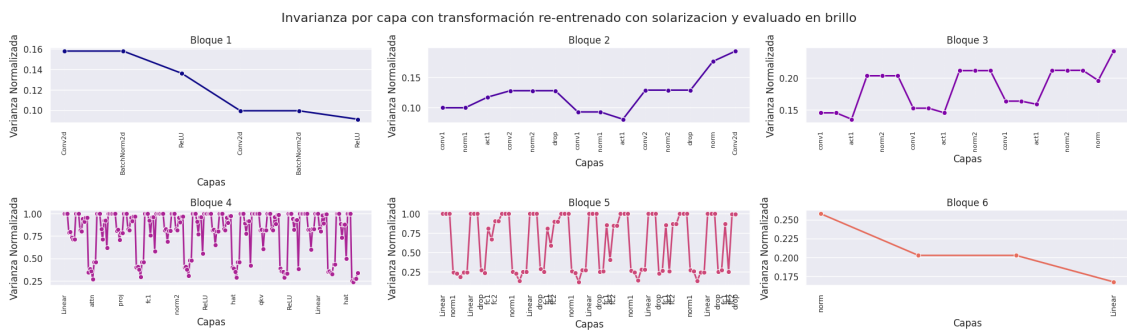


Figura 319: Arquitectura FasterViT, entrenada con enfoque Transfer Learning y transformación Solarizacion, invarianza evaluada con Brillo



Figura 320: Arquitectura FasterViT, entrenada con enfoque Transfer Learning y transformación Solarizacion, invarianza evaluada con Contraste



Figura 321: Arquitectura FasterViT, entrenada con enfoque Transfer Learning y transformación Solarizacion, invarianza evaluada con escala de grises

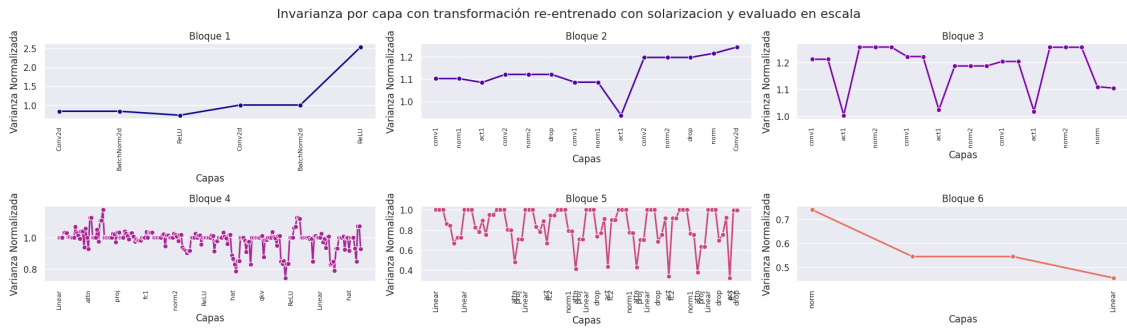


Figura 322: Arquitectura FasterViT, entrenada con enfoque Transfer Learning y transformación Solarizacion, invarianza evaluada con Escala

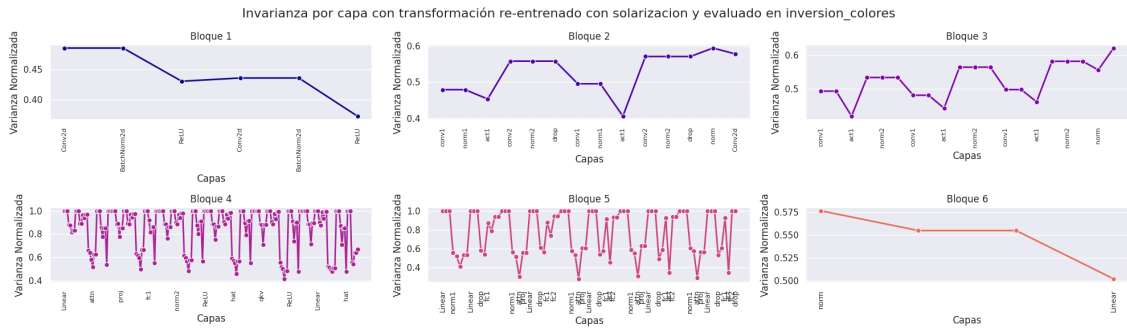


Figura 323: Arquitectura FasterViT, entrenada con enfoque Transfer Learning y transformación Solarizacion, invarianza evaluada con inversion de colores

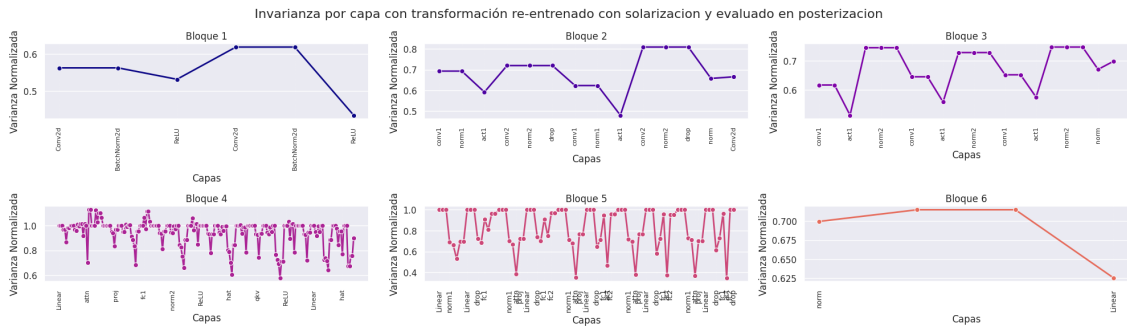


Figura 324: Arquitectura FasterViT, entrenada con enfoque Transfer Learning y transformación Solarizacion, invarianza evaluada con Posterizacion



Figura 325: Arquitectura FasterViT, entrenada con enfoque Transfer Learning y transformación Solarización, invarianza evaluada con Proyección



Figura 326: Arquitectura FasterViT, entrenada con enfoque Transfer Learning y transformación Solarización, invarianza evaluada con Rotación



Figura 327: Arquitectura FasterViT, entrenada con enfoque Transfer Learning y transformación Solarización, invarianza evaluada con Solarización



Figura 328: Arquitectura FasterViT, entrenada con enfoque Transfer Learning y transformación Solarización, invarianza evaluada con Traslación

Transformación de entrenamiento: Traslacion



Figura 329: Arquitectura FasterViT, entrenada con enfoque Transfer Learning y transformación Traslacion, invarianza evaluada con Identidad



Figura 330: Arquitectura FasterViT, entrenada con enfoque Transfer Learning y transformación Traslacion, invarianza evaluada con Brillo



Figura 331: Arquitectura FasterViT, entrenada con enfoque Transfer Learning y transformación Traslacion, invarianza evaluada con Contraste



Figura 332: Arquitectura FasterViT, entrenada con enfoque Transfer Learning y transformación Traslacion, invarianza evaluada con escala de grises



Figura 333: Arquitectura FasterViT, entrenada con enfoque Transfer Learning y transformación Traslacion, invarianza evaluada con Escala

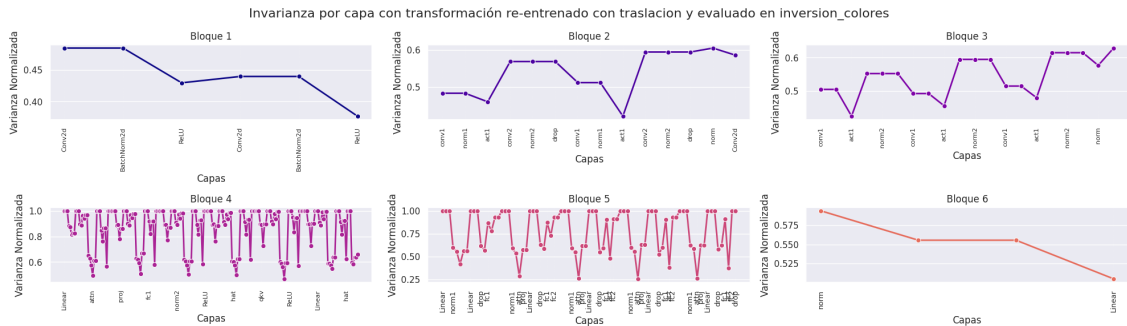


Figura 334: Arquitectura FasterViT, entrenada con enfoque Transfer Learning y transformación Traslacion, invarianza evaluada con inversion de colores



Figura 335: Arquitectura FasterViT, entrenada con enfoque Transfer Learning y transformación Traslacion, invarianza evaluada con Posterizacion



Figura 336: Arquitectura FasterViT, entrenada con enfoque Transfer Learning y transformación Traslacion, invarianza evaluada con Proyeccion



Figura 337: Arquitectura FasterViT, entrenada con enfoque Transfer Learning y transformación Traslacion, invarianza evaluada con Rotacion



Figura 338: Arquitectura FasterViT, entrenada con enfoque Transfer Learning y transformación Traslacion, invarianza evaluada con Solarizacion



Figura 339: Arquitectura FasterViT, entrenada con enfoque Transfer Learning y transformación Traslacion, invarianza evaluada con Traslacion